

Министерство науки и высшего образования Российской Федерации федеральное государственное автономное образовательное учреждение высшего образования «Национальный исследовательский Томский политехнический университет» (ТПУ)

Инженерная школа энергетики Направление подготовки 13.03.02 Электроэнергетика и электротехника Отделение электроэнергетики и электротехники

DANAJIADI CNAZI FADOTA				
Тема работы				
Электропривод шахтного вентилятора главного проветривания				
VIII. 62 92 047 59.662 44				

УДК 62-83-047.58:662.44

Студент

Группа	ФИО	Подпись	Дата
5Γ5A	Горай Юрий Александрович		

Руководитель ВКР

Должность	ФИО	Ученая степень, звание	Подпись	Дата
Доцент	Тимошкин В.В.	к.т.н.		

КОНСУЛЬТАНТЫ ПО РАЗДЕЛАМ:

По разделу «Финансовый менеджмент, ресурсоэффективность и ресурсосбережение»

Должность	ФИО	Ученая степень,	Подпись	Дата
		звание		
Доцент	Мелик-Гайказян	к.э.н.		
	M.B.			
П				

По разлелу «Сопиальная ответственность»

The passery weedinament of better behinder by				
Должность	ФИО	Ученая степень, звание	Подпись	Дата
Ассистент	Сотникова А.А.			

допустить к защите:

Руководитель ООП	ФИО	Ученая степень,	Подпись	Дата
		звание		
13.03.02	Тютева П.В.	к.т.н.		
Электроэнергетика и				
электротехника				



Министерство науки и высшего образования Российской Федерации федеральное государственное автономное образовательное учреждение высшего образования «Национальный исследовательский Томский политехнический университет» (ТПУ)

Инженерная школа энергетики Направление подготовки 13.03.02 Электроэнергетика и электротехника Отделение электроэнергетики и электротехники

УТВЕРЖДАЮ:					
Руководитель ООП					
	7	Гютева П.В			
(Подпись)	(Дата)	(Ф.И.О.)			

ЗАДАНИЕ на выполнение выпускной квалификационной работы

В форме:	-	-	
	Бакалаврской работы		
(бакалаврской Студенту:	і работы, дипломного проекта/работы, м	агистерской диссертации)	
Группа		ФИО	
5Γ5A	Горай Юрию	Алесандровичу	
Тема работы:			
Электрог	привод шахтного вентилятора	главного проветривания	
Утверждена приказом директора (дата, номер) 14.02.2019, 1161/с			
Срок сдачи студентом вн	ыполненной работы:	06.06.2019	

ТЕХНИЧЕСКОЕ ЗАДАНИЕ: Исходные данные к работе

анализ и m. д.).

(наименование объекта исследования или проектирования;
производительность или нагрузка; режим работы
(непрерывный, периодический, циклический и т. д.); вид
сырья или материал изделия; требования к продукту,
изделию или процессу; особые требования к особенностям
функционирования (эксплуатации) объекта или изделия в
плане безопасности эксплуатации, влияния на
окружающую среду, энергозатратам; экономический

Регулируемый электропривод шахтного вентилятора главного проветривания по системе ПЧ – АД с к.з. ротором. Режим работы продолжительный.

Параметры вентилятора ВОД-21, расположенный на месторождении Каульды: $Q=62_{\rm M}^3/{\rm c}$, КПД=0,78, H=3800Па.

Перечень подлежащих исследованию, Расчёт статических динамических И проектированию и разработке характеристик разомкнутой ДЛЯ системы регулируемого электропривода. Выбор вопросов (аналитический обзор по литературным источникам с оборудования. Расчет параметров схемы целью выяснения достижений мировой науки техники в замещения АД. Разработка имитационной модели рассматриваемой области; постановка задачи исследования, проектирования, конструирования; регулируемого электропривода шахтного содержание процедуры исследования, проектирования, вентилятора главного проветривания. конструирования; обсуждение результатов выполненной работы; наименование дополнительных разделов, подлежащих разработке; заключение по работе). Перечень графического материала (с точным указанием обязательных чертежей) Консультанты по разделам выпускной квалификационной работы (с указанием разделов) Консультант Раздел Мелик-Гайказян М.В. Финансовый менеджмент, ресурсоэффективность и ресурсосбережение Сотникова А.А. Социальная ответственность Названия разделов, которые должны быть написаны на русском и иностранном языках:

Дата выдачи задания на выполнение выпускной	14.02.2019
квалификационной работы по линейному графику	

Задание выдал руководитель

Должность	ФИО	Ученая степень,	Подпись	Дата
		звание		
Доцент	Тимошкин В.В.	к.т.н.		

Задание принял к исполнению студент:

 <u> </u>	U · ·		
Группа	ФИО	Подпись	Дата
5Γ5A	Горай Юрий Александрович		



Министерство науки и высшего образования Российской Федерации федеральное государственное автономное образовательное учреждение высшего образования «Национальный исследовательский Томский политехнический университет» (ТПУ)

Инженерная школа энергетики							
Направление подготовки 13.03.0	Направление подготовки 13.03.02 Электроэнергетика и электротехника						
Уровень образования Бакалавр							
Отделение электроэнергетики и	электротехники						
Период выполнения	(осенний / весенний семестр 2018 /2019 учебного года)						
Форма представления работы:							
	Бакалаврская работа						
(бакапавиская пабота	а липпомный проект/работа магистерская лиссертация)						

КАЛЕНДАРНЫЙ РЕЙТИНГ-ПЛАН выполнения выпускной квалификационной работы

Срок сдачи студентом выполненной работы:	06.06.2019

Дата	Название раздела (модуля) /	Максимальный
контроля	вид работы (исследования)	балл раздела (модуля)
02.03.2019 г.	Общие вопросы проектирования	15
16.03.2019 г.	Выбор преобразователя частоты	10
05.04.2019 г.	Расчет параметров схемы замещения	10
20.04.2019 г.	Построение естественных и искусственных характеристик	10
04.05.2019 г.	Моделирование работы в программа Matlab	20
13.05.2019 г.	Финансовый менеджмент, ресурсоэффективность и ресурсосбережение	10
17.05.2019 г	Социальная ответственность	10
27.05.2018 г.	Оформление результатов работы и выводов по работе. Формирование файла дипломной работы	15

составил:

Руководитель ВКР

i ykobodnich biki				
Должность	ФИО	Ученая степень,	Подпись	Дата
		звание		
Доцент	Тимошкин В.В.	к.т.н		

СОГЛАСОВАНО:

Руковолитель ООП

T J RODOGIIT COID O O II				
Должность	ФИО	Ученая степень,	Подпись	Дата
		звание		
Доцент	Тютева П.В.	к.т.н		

ЗАДАНИЕ ДЛЯ РАЗДЕЛА «ФИНАНСОВЫЙ МЕНЕДЖМЕНТ, РЕСУРСОЭФФЕКТИВНОСТЬ И РЕСУРСОСБЕРЕЖЕНИЕ»

Студенту:

Группа	ФИО
5Γ5A	Горай Юрий Александрович

Школа	ЕШИ	Отделение	ОЭЭ
Уровень	Бакалавриат	Направление/специальность	Электроэнергетика и
образования	Бакалавриат	паправление/специальность	электротехника

Исходные данные к разделу «Финансовый	менеджмент, ресурсоэффективность и
ресурсосбережение»:	
1. Стоимость затрат технического проекта (ТП)	Для проекта необходимо два человека (научный руководитель, дипломник) Заработная плата рассчитывается в соответствии с окладами сотрудников
	НИ ТПУ
2. Продолжительность выполнения ТП	Приблизительная оценка продолжительности
	выполнение технического проекта определяется
	исходя из ожидаемой трудоёмкости работ
Перечень вопросов, подлежащих исследова	анию, проектированию и разработке:
1. Планирование и формирование графика	Для составления графика по проектированию дутьевого
работ по реализации ТП	вентилятора:
	- оценить технический проект выявляя при этом сильные и
	слабые, а также возможности и угрозы
	- определить трудоемкость работ для каждого
	исполнителя.
	По полученным данным построить диаграмму Ганта,
	которая позволяет спланировать процесс реализации
	технического проекта
2. Формирование сметы ТП	В процессе формирования сметы технического проекта
	используется следующая группировка затрат:
	- материальные затраты
	- полная заработная плата исполнителей
	- отчисления во внебюджетные фонды
3. Ресурсоэффективность ТП	Оценка эффективности проекта производится с помощью
	интегрального критерия ресурсоэффективности
Перечень графического материала (с точны	м указанием обязательных чертежей):
1. Диаграмма Ганта	
2. Матрица SWOT	
Дата выдачи задания для раздела по линей	іному графику

Задание выдал консультант:

Должность	ФИО	Ученая степень, звание	Подпись	Дата
доцент	доцент Мелик-Гайказян Мария Вигеновна			

Задание принял к исполнению студент:

Группа	ФИО	Подпись	Дата
5Γ5A	Горай Юрий Александрович		

ЗАДАНИЕ ДЛЯ РАЗДЕЛА «СОЦИАЛЬНАЯ ОТВЕТСТВЕННОСТЬ»

Студенту:

Группа	ФИО
5Γ5A	Горай Юрий Александрович

Школа		Отделение	Электроэнергетики и
			электротехники
Уровень	Бакалавр	Направление/специальность	13.03.02
образования			Электроэнергетика
			электротехника

Исходные данные к разделу «Социальная ответственность»: Тема диплома			
1. Характеристика объекта исследования	Ремонтно-механический цех механического завода.		
Перечень вопросов, подлежащих исслед	ованию, проектированию и разработке:		
1. Правовые и организационные вопросы обеспечения безопасности:	 организационные мероприятия по компоновке рабочей зоны в соответствии с СанПиН 2.2.2/2.4.1340-03; управление мобильным роботом происходит в автономном и ручном режиме; «Трудовой кодекс Российской Федерации» от 30.12.2001. №197- Ф3 		
2. Производственная безопасность	 1.1. Анализ выявленных вредных факторов проектируемой производственной среды в следующей последовательности: Шум; Вибрация; Недостаток искусственного света; Микроклимат. 1.2. Анализ выявленных опасных факторов проектируемой произведённой среды в следующей последовательности: электропоражение 		
3. Экологическая безопасность:	Анализ влияния объекта на окружающую среду. Разработат решения по обеспечению экологической безопасности.		
4. Безопасность в чрезвычайных ситуациях:	Наиболее вероятные чрезвычайные ситуации на рассматриваемом рабочем месте в механическом цехе это возникновение пожара		

Дата выдачи задания для раздела по линейному графику	14.02.2019

Задание выдал консультант:

Ī	Должность	ФИО	Ученая степень, звание	Подпись	Дата
	Ассистент	Сотникова Анна Александровна			

Задание принял к исполнению студент:

Группа	ФИО	Подпись	Дата
5Γ5A	Горай Юрий Александрович		

Результаты обучения по направлению 13.03.02 Электроэнергетика и электротехника

Код	Результат обучения
результата	
P 1	Применять соответствующие гуманитарные, социально-экономические, математические, естественно-научные и инженерные знания, компьютерные технологии для решения задач расчета и анализа электрических устройств, объектов и систем.
P 2	Уметь формулировать задачи в области электроэнергетики и электротехники, анализировать и решать их с использованием всех требуемых и доступных ресурсов.
P 3	Уметь проектировать электроэнергетические и электротехнические системы и их компоненты.
P 4	Уметь планировать и проводить необходимые экспериментальные исследования, связанные с определением параметров, характеристик и состояния электрооборудования, объектов и систем электроэнергетики и электротехники, интерпретировать данные и делать выводы.
P 5	Применять современные методы и инструменты практической инженерной деятельности при решении задач в области электроэнергетики и электротехники.
P 6	Иметь практические знания принципов и технологий электроэнергетической и электротехнической отраслей, связанных с особенностью проблем, объектов и видов профессиональной деятельности профиля подготовки на предприятиях и в организациях – потенциальных работодателях.
P 7	Использовать знания в области менеджмента для управления комплексной инженерной деятельностью в области электроэнергетики и электротехники
P 8	Использовать навыки устной, письменной речи, в том числе на иностранном языке, компьютерные технологии для коммуникации, презентации, составления отчетов и обмена технической информацией в областях электроэнергетики и электротехники.
P 9	Эффективно работать индивидуально и в качестве члена или лидера команды, в том числе междисциплинарной, в области электроэнергетики и электротехники.
P 10	Проявлять личную ответственность и приверженность нормам профессиональной этики и нормам ведения комплексной инженерной деятельности.
P 11	Осуществлять комплексную инженерную деятельность в области электроэнергетики и электротехники с учетом правовых и культурных аспектов, вопросов охраны здоровья и безопасности жизнедеятельности.
P 12	Быть заинтересованным в непрерывном обучении и совершенствовании своих знаний и качеств в области электроэнергетики и электротехники.

РЕФЕРАТ

Выпускная квалификационная работа содержит 84 с., 30 рис., 19 табл., в процессе выполнения использовалась информация из 21 источников.

Ключевые слова: полная мощность, активная мощность, асинхронный двигатель, электропривод, искусственные характеристики, естественные характеристики, преобразователь частоты.

Объектом исследования является электропривод шахтного вентилятора ВОД21, расположенный на месторождении Каульды, на основе асинхронного двигателя. Целью работы — является создание электропривода шахтного вентилятора ВОД21 на основе асинхронного двигателя. В процессе работы был проведен расчёт и выбор электрооборудования, рассчитаны параметры элементов и характеристик силовой цепи. Исследован разработанный электропривод методом имитационного моделирования. В результате выполнения работы был спроектирован и исследован скалярный асинхронный электропривод полностью соответствующий техническому заданию.

Оглавление

Введение	. 11
1. ШАХТНАЯ ВЕНТИЛЯЦИЯ	. 14
1.1 Особенности шахтной вентиляции сети	. 14
1.2 Режим функционирования вентиляторных установок	. 17
1.3 Реверсирование вентиляционной струи	. 18
1.4. Вентиляторные установки с осевыми вентиляторами	. 20
1.5 Всасывающая установка с вентилятором ВОД-21 на месторождении Каульды	. 22
2. РАСЧЕТНАЯ ЧАСТЬ	. 25
2.1. Расчет и выбор электродвигателя	. 25
2.2. Расчет параметров схемы замещения по паспортным данным электродвигателя 6A355м2	. 25
2.3. Расчет и построение естественной механической и электромеханической и электромеханической и электродвигателя Естественная механическая характеристика асинхронного двигателя:	
2.4.Статические характеристики вентилятора при регулировании скорости $\frac{U_{1j}}{f_{1j}^{2}} = {\rm const}$ закону регулирования с IR-компенсацией	
закону регулирования t_{1j} с IR-компенсацией	.31
3. РЕЖИМЫ ПРАВЛЕНИЯ ЭЛЕКТРОДВИГАТЕЛЯМИ И ВЫБОР	
ПРЕОБРАЗОВАТЕЛЯ ЧАСТОТЫ	
3.1. Режимы управления электродвигателями	. 35
3.2. Выбор преобразователя частоты законом управления $\frac{\mathbf{U}}{\mathbf{f}^2}$ =const	. 36
4. ИССЛЕДОВАНИЕ ДИНАМИКИ ЭЛЕКТРОПРИВОДА	.41
4.1Расчет динамических характеристик электропривода	.41
4.2. Исследование скалярной системы автоматического управления	
электроприводом с законом управления $\frac{{ m U_{1j}}}{{ m f_{1j}}^2} = { m const}$. 45
5. ФИНАНСОВЫЙ МЕНЕДЖМЕНТ, РЕСУРСОЭФФЕКТИВНОСТЬ И РЕСУРСОСБЕРЕЖЕНИЕ	.51
5.1. SWOT – анализ работы проектируемого стенда	.51
5.2. Организация работ технического проекта	. 54
5.3. Структура работ в рамках технического проектирования	. 54

5.4 Определение трудоемкости выполнения ТП	56
5.4. Разработка графика проведения технического проекта	57
5.5 Составление сметы затрат на разработку тп	58
5.6. Определение стоимости материальных затрат	58
5.7 Расчет полной заработной платы исполнителей	60
5.8. Отчисления во внебюджетные фонды (страховые отчисления)	62
5.9 Накладные расходы	62
5.10 Формирование сметы проекта	63
5.11. Определение ресурсоэффективности проекта	64
6.1. Правовые и организационные вопросы обеспечения безопасности	67
6.2. Производственная безопасность	69
6.3 Анализ опасных и вредных производственных факторов	70
6.3.1 Шум	70
6.3.2 Вибрация	72
6.3.3 Свет	73
6.3.4 Микроклимат	74
6.3.5 Электропоражение	75
6.4 Обоснование мероприятий по снижению уровней воздействия опасны вредных факторов на исследователя (работающего)	
6.4.1. Шум	76
6.4.2. CBeT	76
6.4.3. Микроклимат	77
6.4.4. Вибрация	77
6.4.5. Электропоражение	78
6.5. Экологическая безопасность	79
6.6. Безопасность в чрезвычайных ситуациях	80
6.6.1 Пожар (загорание) – как источник ЧС	80
Заключение	82
Список литературы	83

Введение

Количество энергозатрат в себестоимости продукции и сфере услуг в России составляет вплоть до 20–30%, что намного больше, нежели в странах с развитой рыночной экономикой. Способствует этому энергорасточительные технологии, средства и аппараты. Согласно оценкам экспертов, введение энергосберегающих технологий и оборудования способствует снижению потребностей в энергоресурсах никак не меньше нежели на 30-40%. Мировая и отечественная инженерная действие показала, значительный максимальный (народно)хозяйственный переоборудование результат преподносит энергетических сетей коммуникаций устройствами регулируемого электропривода.

Согласно оценке специалистов, в целом по стране введение регулируемого электропривода в энергетике, промышленности и других отраслях может предоставить ежегодную экономию 36-41 млрд. кВт·ч. электроэнергии, что же равнозначно ежегодный выработке 30 энергоблоков мощностью по 300 МВт тот и другой.

Индустрия управления двигателями - это сильный, агрессивный сектор. Чтобы оставаться конкурентоспособными, новые продукты должны отвечать нескольким конструктивным ограничениям, включая снижение затрат, снижение энергопотребления, коррекция коэффициента мощности и снижение электромагнитных излучений. Что-бы поставленные цели осуществились, необходимы усовершенствованные алгоритмы управления. Встроенная добиться технология управления позволяет как высокого уровня производительности, так и снижения стоимости системы. Согласно анализу рынка, в большинстве промышленных двигателей используются асинхронные двигатели переменного тока. Причины этого - более высокая надежность, более низкие цены и более высокая эффективность (до 80%). Однако использование асинхронных двигателей сложный процесс из-за его сложной математической модели, его нелинейного поведения во время насыщения и колебаний электрических параметров, которые физического зависят otвлияния

температуры. Эти факторы делают управление комплексом асинхронного двигателя и требуют использования высокопроизводительных алгоритмов управления, такие как «скалярное» и мощный микроконтроллер для выполнения этого алгоритма.

Скалярное управление - это термин, используемый для описания более простой формы управления двигателем, использующей схемы привода с не векторным управлением. Асинхронный двигатель может быть приведен в устойчивое состояние с помощью простых схем с питанием по напряжению, током или скоростью. Скалярной переменной можно манипулировать после получения ее значения либо прямым измерением, либо расчетом, и ее можно использовать как в формате обратной связи, так и в обратной связи.

Цель работы – проектирование электропривода шахтного вентилятора ВОД-21 на месторождении Каульды с требованиями технического задания и исследование его работы.

Задачи выпускной квалификационной работы:

- Рассмотрение шахтной вентиляции;
- Расчет электродвигателя по параметрам вентилятора ВОД-21;
- Расчет параметров схемы замещения для выбранного электродвигателя;
- Расчет и построение электромеханических и механических характеристик электродвигателя;
- Расчет и построение статических характеристик вентилятора с IR компенсацией;
- Выбор преобразователя частоты для выбранного электродвигателя и закон управления;
- Математическое моделирование в программа Matlab по выбранной системе управления электродвигателем и определение главных параметров и системы на устойчивость;

- расчёт ресурсоэффективности и ресурсосбережения разработанного электропривода;
- составление социальной ответственности для разработанного электропривода.

1. ШАХТНАЯ ВЕНТИЛЯЦИЯ

1.1 Особенности шахтной вентиляции сети

Основные виды вентиляторных установок главного проветривания перемещает рудничный воздух, работая на всасывание. Этот воздух отличается наличием рудничных газов, большого количества пыли и пара. Однако по зависимостям плотности от температуры, давления и относительной влажности рудничный воздух близок к атмосферному [5].

На работу вентиляторных установок существенное влияние оказывает плотность воздуха, так как от нее зависят давление и мощность вентиляторных установок. Плотность воздуха зависит от температуры Т, давления р и относительной влажности X.

При выборе вентиляторных установок пользуются понятием «нормальный атмосферный воздух», за который принято считать воздух, находящийся под давлением $101400\,\Pi a$ при температуре $T=293\,$ К и относительной влажности 50%. Плотность нормального воздуха $p=1,2\,$ кг/м³. Плотность воздуха при других давлении p1 и температуре T1 можно определить по формуле:

$$p_1 = \rho \times \frac{p_1 T}{\rho T_1}$$
.

Эти формулы не учитывают влияния влажности воздуха. При температуре рудничного воздуха не более 293 К изменение плотности воздуха в зависимости от его влажности не превышает 1% и поэтому его часто не учитывают. При более высоких температурах и большей влажности воздуха необходимо вводить поправку.

Плотность влажного воздуха определяют по формуле:

$$p_{\rm\scriptscriptstyle B} = \rho - \frac{\Delta \chi}{100}$$

Где Δ - коэффициент, зависящий от температуры воздуха; χ - относительная влажность в процентах.

Омываемые воздухом подземные горные выработки составляют вентиляционную шахтную сеть. Расход воздуха, проходящий через нее, зависит от аэродинамического сопротивления сети R и от разности давления на входе и выходе из сети:

$$Q = \sqrt{\frac{\rho}{R}}$$
.

Главной чертой шахтной вентиляционной сети является непостоянство аэродинамического сопротивления при эксплуатации шахты, которое зависит от длины, сечения и числа горных выработок, их шероховатости, типа сопряжений их между собой, неплотностей между параллельными выработками и т.д. При эксплуатации шахты непостоянен также необходимый расход воздуха, изменение которого зависит от изменения получения полезного ископаемого, вредных газов, величины утечек воздуха в горных выработках и другие.

Аэродинамическое сопротивление вентиляционной сети шахты при центральной системы вентиляции изменяется от первоначального в 3-9 раз, а при диагональной системе соответственно в 2,5–3,5 раза.

Зависимость между разными расходами воздуха и нужным для их осуществления давлениями, ДЛЯ вентиляцинной сети, пренебрегая естественной тягой, представляется в виде кривой, которая имеет вид квадратичной параболы исходящей из нуля, называемой характеристикой вентиляционной сети. На ней кривые 0-1, 0-IV представляют собой характеристики вентиляционной сети соответственно в начальный и в конечный периоды работы шахты, остальные кривые являются характеристиками вентиляционной сети промежуточные В периоды эксплуатации шахты. Точки I, 2, 3 u 4, расположенные на этих характеристиках, определяют вентиляционные режимы соответственно в начальный (1), в промежуточные (2 и 3) и в конечный (4) периоды эксплуатации шахты.

На рисунке 1 представлена характеристика вентиляционной сети.

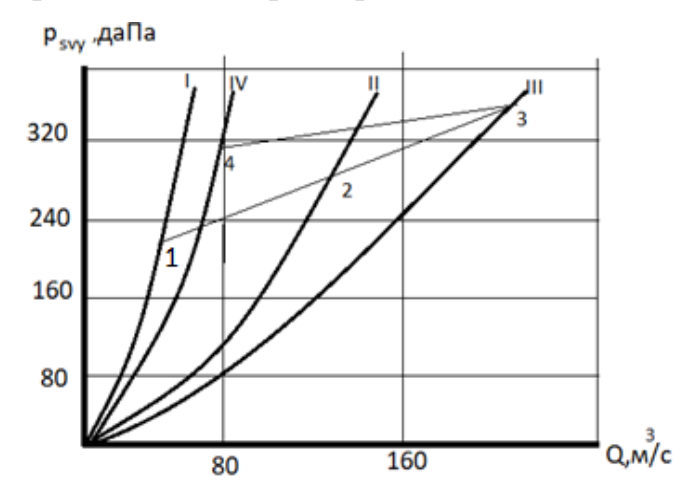


Рисунок 1 — Проектные вентиляционные режимы и характеристики вентиляционной сети для различных периодов работы шахты

На практике часто влияет естественная тяга воздуха. Она возрастает с ростом глубины шахты и разницы в температурах воздуха в подающем и вытяжном стволах.

В глубоких шахтах при значительной разности температур в стволах она может достигать 100 даПа. Зимой естественная тяга обычно способствует увеличению количества воздуха, а летом может действовать наоборот. Действие естественной тяги при совместной работе с вентилятором можно рассматривать как последовательно включенный вентилятор. При построении суммарной характеристики к давлению вентилятора добавляется величина естественной тяги в виде постоянного отрезка для всех режимов работы вентилятора (если направления действия естественной тяги и вентилятора совпадают) и вычитается, если направления их действия противоположны.

Термины шахтного вентилятора:

- Подача вентилятора $(Q, \frac{M}{c}^3)$ показывает какое количество воздуха протекает через плоскость входа или плоскость выхода вентилятора
- Номинальная подача вентилятора $(Q_{\text{ном}}, \frac{M}{c}^3)$ подача вентилятора в режиме максимального статического η ;

- Полное давление вентилятора (p_v , да Πa)-это разность между полным давлением при выходе из вентилятора и перед входом в него;
 - Статическое давление вентилятора (p_{sv} , да Πa)- разность между полным давлением вентилятора и динамическим давлением за ним;
- Средневзвешенный статический КПД вентилятора (η_{sv} ср)-это средняя величина статического КПД в нормальной области режимов;
- Диаметр ротора (мм) это наружный диаметр ротора вентилятора по внешним концам лопаток;
- Статический КПД вентиляторной установки (η_{sv} у ,определяется по $\phi opmyne \ \eta_{sv}y = \frac{Q_{Psvy}}{100N} \times \beta \);$
- Статическое давление вентиляторной установки (p_{sv} у; даПа)-это разность между полным давлением вентиляторной установки и динамическим давлением выходе из нее;

1.2 Режим функционирования вентиляторных установок

Режим функционирования добиваются наложением графика сетевой характеристики на график вентиляторной в одном масштабе, и точка пересечения графиков определяет режим работы. Подача воздуха может быть различной у одинаковых установок, т.к. зависит от сопротивления сети. При работе на установленную сеть, статическое давление установки будет равняться сопротивлению данной сети [2].

Изменение параметров и режима работы установки может быть связано с изменением сопротивления шахтной сети, что приводит к неравномерному подачи воздуха в шахту.

При крутопадающей характеристике давления вентиляторной установки изменение характеристики шахтной сети меньше сказывается на расходе воздуха, чем при пологопадающей.

В шахтах при любых изменениях сопротивления вентиляционной сети необходима гарантия надежной и устойчивой вентиляции. Для этого нельзя допускать неустойчивую работу вентиляторной установки.

При углах установки лопаток рабочих колес более 20° характеристика давления вентиляторных установок с осевыми вентиляторами имеет разрыв левее точки максимума давления. Левее этой точки работа вентиляторной установки может быть неустойчивой или многозначной, что недопустимо при проветривании шахт.

1.3 Реверсирование вентиляционной струи

В соответствии с правилами безопасности шахтные вентиляторыне установки главного проветривания должны быть оборудованы устройствами для реверсирования вентиляционной струи в связи с правилами безопасности.

Реверсирование струи как в центробежных вентиляторах, так и в осевых типом ВУПД,ВОКД,ВОД11П приводится при помощи системы каналов и ляд или вертикальных дверей с приводом от лебедок. При этом установки развивают примерно такие же подачу и давление, что и при нормальном режиме [3].

Вентиляторные установки с осевыми вентиляторами реверсируют вентиляционную изменяя направление вращения рабочих колес без струю, установки лопаток рабочих колес изменения УГЛОВ ИЛИ направляющих без аппаратов применения дополнительных каналов и ляд. Повышение эффективности реверсирования вентиляторных установок осевыми вентиляторами ВОД21, ВОД3О, ВОД40 и ВОД50 достигнуто за счет поворота промежуточного направляющего установки лопаток выходного спрямляющего аппаратов таким образом, чтобы спрямляющий аппарат выполнял роль входного направляющего аппарата, подкручивающего поток против вращения второго рабочего колеса, з лопатки промежуточного направляющего аппарата — роль спрямляющего аппарата для колеса второй ступени и направляющего аппарата, подкручивающего поток против вращения колеса первой ступени представлен на рис.2.

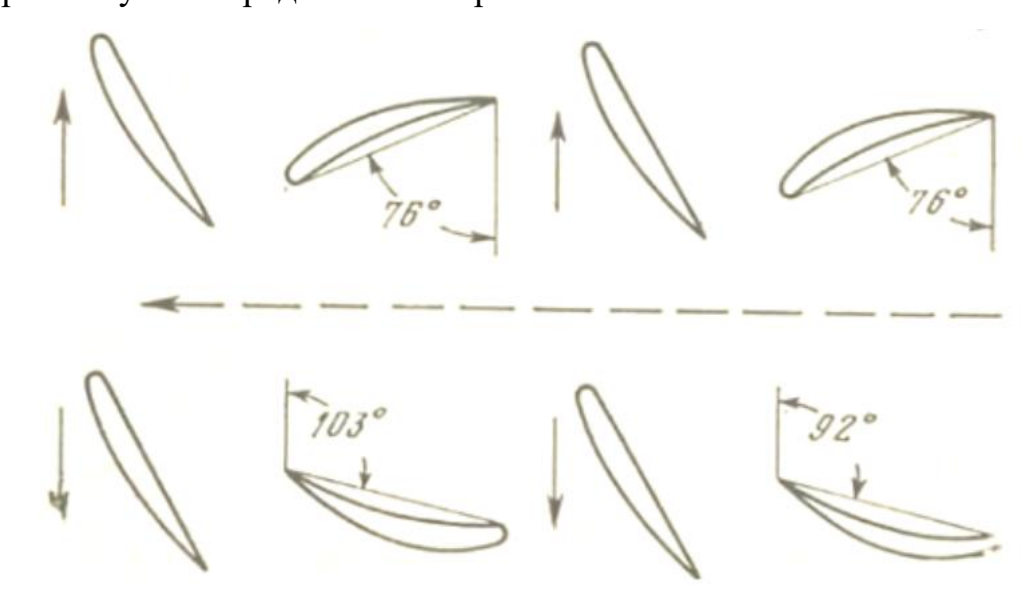


Рисунок 2 — Схема реверсирования воздушной струи в осевых вентиляторах ВОД21, ВОД3О, ВОД40 и ВОД50

В случае осевые вентиляторы типа ВОД реверсировании вентиляционной струи 55—70% от нормальной подачи. При этом большая из них величина соответствует малым углам установки лопаток рабочих колес, а меньшая — большим углам. Минимальное процентное соотношение подач наблюдается возле горба характеристики давления на максимальном угле (45°) установки лопаток рабочих колес. В связи с этим часть области работы этих установок, В которой обеспечивается не 60% реверсировании вентиляционной струи нормальной OT подачи, исключается из области промышленного использования.

Реверсирование вентиляционной струи в установках с вентиляторами встречного вращения ВОД 16 осуществляется только изменением направления вращения рабочих колес. При этом в области промышленного использования при реверсировании вентиляционной струн подается не менее 64% воздуха от нормальной подачи при работе на ту же сеть. Из-за отсутствия направляющих и спрямляющих аппаратов реверсирование струн воздуха наиболее просто и надежно-

Существенными недостатками вентиляторных установок с осевыми вентиляторами ВОД без обводных каналов являются: 1) низкое давление, развиваемое установками при реверсировании (примерно 1/3 от давления при нормальной работе), что в аварийных ситуациях при наличии тепловой тяги будет недостаточно для реверсирования вентиляционной струн; 2) сравнительно небольшая подача при реверсировании вентиляционной струи, что при большом объеме горных выработок может потребовать большого промежутка времени для вымывания из них опасных для людей продуктов горения. Поэтому в тех случаях, когда есть такая опасность, необходимо в шахтных вентиляторных установках с вентиляторами ВОД применять обводные каналы и ляды для реверсирования вентиляционной струи. В этом случае эти установки будут подавать в шахту при реверсировании вентиляционной струи примерно такое же количество воздуха, как и при нормальном режиме.

Недостатком вентиляторных установок с центробежными, а также со старыми осевыми вентиляторами является наличие обводного канала и ляд для реверсирования вентиляционной струи, так как они удорожают вентиляторные установки и приводят к значительным потерям воздуха через неплотности.

1.4. Вентиляторные установки с осевыми вентиляторами

Вентиляторные установки с осевыми вентиляторами предназначены для главного проветривания шахт и рудников. Они размещаются на дневной поверхности шахт и состоят из рабочего и резервного вентиляторов и их приводных электродвигателей или только рабочего вентилятора с резервным электродвигателем, аппаратуры управления, автоматизации и контроля, вспомогательного оборудования для переключения воздушной струн (далее сокращенно: вспомогательное оборудование), здания, фундаментов, вентиляционных каналов и глушителя шума [4].

Применение резервного вентилятора согласно правилам безопасности для угольных и сланцевых шахт обязательно для газовых и строящихся

негазовых шахт. Для действующих негазовых шахт и рудников допускается применение в вентиляторных установках одного вентилятора с резервным электродвигателем.

Со стволом шахты вентиляторы соединяются подводящим или нагнетательным каналом, выполняемым из железобетона. Сечение канала должно обеспечивать скорость воздушного потока в нем не более 15 м/с. Конфигурация участков канала, непосредственно примыкающих к вентиляторам, играет существенную роль в обеспечении высокого к. п. д. вентиляторной установки, поэтому участки должны выполняться в строгом соответствии со строительным заданием. Строительному заданию должна также соответствовать конфигурация выходных элементов вентиляторной установки, фундаментов и расположение ляд и дверей переключения, размещенных в каналах вентиляторной установки.

Чертежи строительного задания высылаются заводами-изготовителями вентиляторов по запросу заказчиков или проектных организаций, разрабатывающих проекты вентиляторных установок.

В соответствии с требованием «Правил безопасности для угольных и сланцевых шахт» вентиляторные установки с осевыми вентиляторами выполняют так, чтобы не происходило обмерзание резервного вентилятора и вспомогательного оборудования. Такое «необмерзаемое» исполнение вентиляторных установок обеспечивается за счет объединения во всасывающих установках выходных отверстий обоих вентиляторов и образования вследствие этого при работе одного из них тепловой завесы, препятствующей проникновению холодного воздуха к резервному вентилятору и переключающим лядам или дверям. Все ляды и двери установки в этом случае обеими сторонами контактируют только с холодным или только с теплым воздухом, что исключает опасность конденсации на них влаги и обмерзания.

Преимуществом установок с осевыми реверсивными вентиляторами тина ВОД (кроме ВОД11П) является отсутствие ранее применявшихся обводных каналов, всасывающей будки и реверсивных ляд. Благодаря этому

существенно снижаются непроизводительные подсосы или утечки воздуха, а стоимость строительных сооружений вентиляторных установок уменьшается на 20—25% по сравнению с ранее сооружаемыми установками с вентиляторами ВОКД.

При реверсивном исполнении путь движения воздушной струн в вентиляторных установках с осевыми вентиляторами типа ВОД является прямоточным как при прямой, так и при реверсивной работе. В первом случае воздух во всасывающей установке движется по пути: подводящий канал - тройник канала - двойное колено канала - вентилятор - диффузор — выходной канал - поворотное колено - глушитель шума-выходное отверстие, а во втором случае - по обратному пути.

1.5 Всасывающая установка с вентилятором ВОД-21 на месторождении Каульды

Всасывающая вентиляторная установка с осевым реверсивным диаметром 2100-5000мм состоит вентиляторам типа ВОД21 вентиляторов 1 (рабочего и резервного), двух приводных асинхронных электродвигателей 2, двух систем смазки 3, унифицированных комплектов аппаратуры автоматизации 4 типа УКАВ-2, вспомогательного оборудования 5 для переключения воздушной струи с рабочего на резервный вентилятор, здания 6, каналов 7, фундаментов 8 и глушителя шума 9. В здании располагаются вентиляторы с приводными электродвигателями, системы смазки (индивидуальные для каждого вентилятора) и унифицированные комплекты аппаратуры автоматизации. Здание оборудуется грузоподъемными средствами, необходимыми для обслуживания и ремонта вентиляторов. Обычно это ручные мостовые краны. Здание должно быть оборудовано крышными вентиляторами ДЛЯ нагнетательной вентиляции, которые включаются при остановке обоих вентиляторов главного проветривания во избежание проникновения в здание загазованного воздуха. Всасывающая

вентиляторная установка с осевым реверсивным вентиляторам типа ВОД21 представлена на рисунке 3 [1].

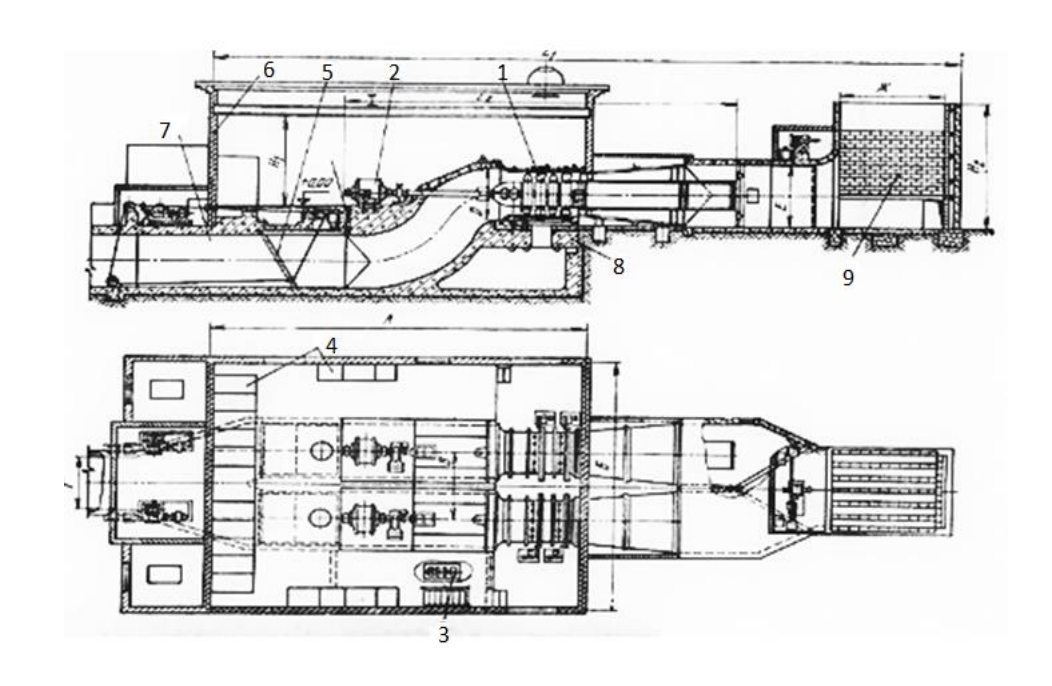


Рисунок 3 — Всасывающая вентиляторная установка с вентилятором типа ВОД21

В ряде случаев здание оборудуют балконами для размещения электрооборудования и подвалами для маслостанций.

Температура в здании должна поддерживаться положительной (не ниже $+5^{\circ}$ C), чтобы не застывала смазка в маслосистемах вентиляторов.

Проектные решения по зданию, фундаментам, каналам и другим элементам вонтнляторной установки разрабатывает проектная организация, осуществляющая привязку вентиляторной установки к конкретной шахте или руднику. При этом необходимо руководствоваться строительным заданием, получаемым от завода-изготовителя.

Подводящий канал, соединяющий вентиляторы со стволом шахты, выполняется прямоугольного сечения н сооружается, как правило, из бетона, реже из сборных панелей или кирпича.

Для доступа в канал предусматриваются герметичные люки. С учетом

перепада давлений между атмосферой и каналом в месте установки люков устанавливают шлюзовые камеры. При сооружении каналов важную роль играет качество бетонных работ, так как стенки каналов не должны допускать прососов воздуха. Проектами должна предусматриваться гидроизоляция каналов.

В таблице 1 представлена техническая характеристика вентиляторной установки ВОД-21.

Таблица 1 — техническая характеристика вентиляторной установки ВОД-21

Параметры	
	Величина
Диаметр рабочего колеса, мм	2100
Частота вращения вала, об/мин	750
Статический к.п.д.	0,78
Производительность, м ³ /с	62
Статическое давление, Па	3800
Потребляемая мощность в области	70-380
промышленного использования, кВт	
Маховый момент ротора вентилятора, $H \cdot M^2$	23000
Масса вентилятора, кг	11720

2. РАСЧЕТНАЯ ЧАСТЬ

2.1. Расчет и выбор электродвигателя

Расчетная мощность двигателя с запасом вычисляется по формуле [5]:

$$P = \frac{L \cdot p}{1000 \cdot \eta} \cdot k_3,$$

Где L – производительность воздуха, р – давление на выходе, Р – мощность электродвигателя, η – КПД вентилятора, $k_{_3}$ – коэффициент запаса мощности электродвигателя.

$$P = \frac{L \cdot p}{1000 \cdot \eta} \times k_3 = \frac{62 \cdot 3800}{1000 \cdot 0,78} \cdot 1,05 = 315 \text{ кВт.}$$

Выбираем электродвигатель 6А355м2 мощностью 315 кВт, паспортные данные которого представлены в таблице 2.

Таблица 2 – паспортные данные электродвигателя 6А355м2

$P_{\scriptscriptstyle \! H,}$ к ${ m B}{ m T}$	315
$U_{\scriptscriptstyle H_{\scriptscriptstyle }}$ B	660
$S_{\scriptscriptstyle H,}$ %	0,0066
$\eta_{\scriptscriptstyle H,}$ %	0,952
$\cos_{arphi^{H}}$	0,9
Kmax	2,2
Кп	2,1
Ki	6,9

2.2. Расчет параметров схемы замещения по паспортным данным электродвигателя 6А355м2

При расчете механических и электромеханических характеристик АД воспользуемся Т-образной схемой замещения. Схема замещения и основные

уравнения АД, соответствующий схеме Т-образной схемы замещения представлены на рисунке 4 [6].

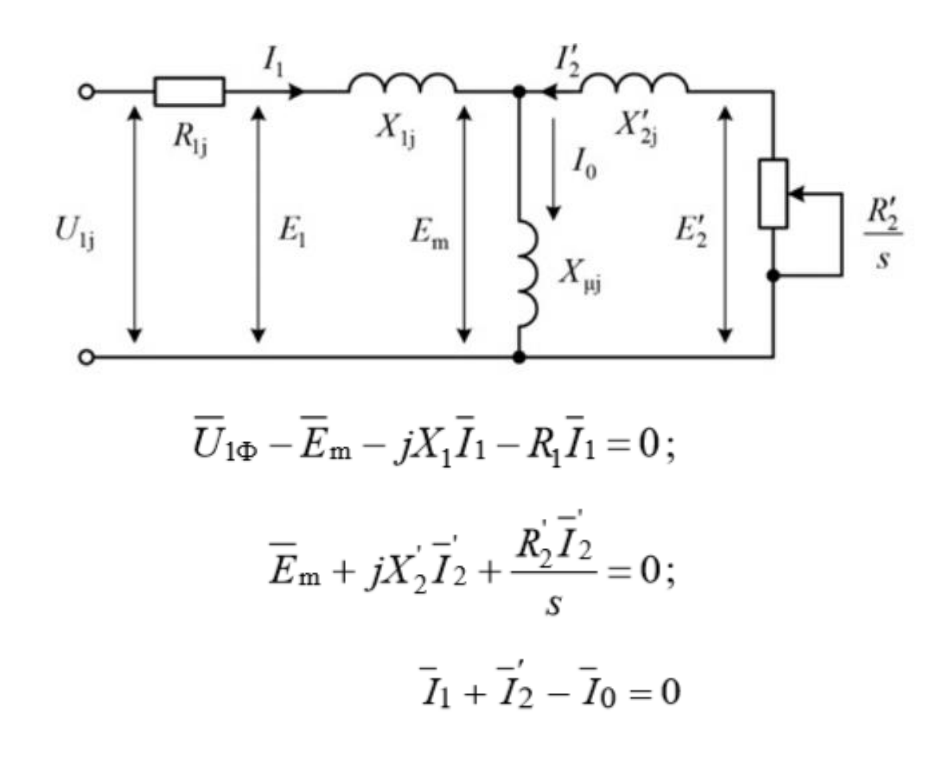


Рисунок 4 — Т-образная схема замещения АД и основные её уравнения Векторная диаграмма токов, ЭДС и напряжений, удовлетворяющих системе основных уравнения асинхронного двигателя представлена на рисунке 5.

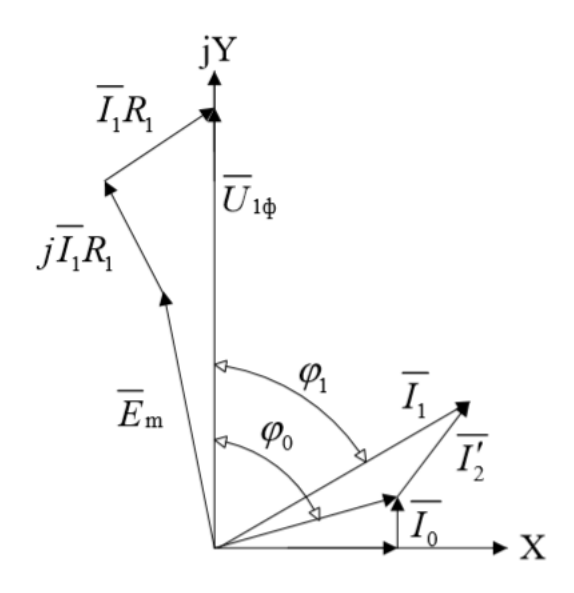


Рисунок 5 – Векторная диаграмма асинхронной машины.

Номинальная частота вращения:

$$n_{\rm H} = n_0 \cdot (1-s_{\rm H}) = 1500 \cdot (1-0.0066) = 1490 \text{ Об/мин.}$$

Угловая синхронная скорость вращения:

$$\omega_0 = \frac{2 \cdot \pi \cdot n_0}{60} = \frac{2 \cdot 3,14 \cdot 1500}{60} = 157$$
 рад/с.

Номинальный ток цепи обмотки статора:

$$I_{H} = \frac{P_{H}}{3 \cdot U \cdot \cos\phi \times \eta_{H}} = \frac{315000}{3 \cdot 380 \cdot 0.9 \cdot 0.952} = 322,497 \text{ A}.$$

Ток холостого хода:

$$\begin{split} I_0 = & \sqrt{\frac{I_{11}^2 \cdot ((P_g \cdot I_{1_H} \cdot (1 \cdot s_H)/(1 \cdot P_g \cdot s_H))^2}{1 \cdot ((P_g \cdot (1 \cdot s_H)/(1 \cdot s_H \cdot P_g))^2}} = \\ = & \sqrt{\frac{244.316^2 \cdot (0.75 \cdot 322.497 \cdot ((1 \cdot 0.0066)/(1 \cdot 0.75 \cdot 0.0066))^2}{1 \cdot (0.75 \cdot ((1 \cdot 0.0066)/(1 \cdot 0.75 \cdot 0.0066))^2}} = 56,078 \text{ A}. \end{split}$$

Значение активного сопротивления цепи ротора:

$$R'_{2} = \frac{A_{1}}{(\beta + 1/S_{K}) \cdot C_{1}} = \frac{0,307}{(1 + 1/0,028) \cdot 1,013} = 0,0082 \text{ Om},$$

Критическое скольжение:

$$S_{k} = S_{H} \frac{K_{max} + \sqrt{(K_{max})^{2} - (1 - 2 \cdot S_{H} \cdot \beta \cdot (K_{max} - 1))}}{1 - 2 \cdot S_{H} \cdot \beta \cdot (K_{max} - 1)} = 0,028 \times \frac{2,2 + \sqrt{2,2^{2} - (1 - 2 \cdot 0,0066 \cdot 1 \cdot (2,2 - 1))}}{1 - 2 \cdot 0,0066 \cdot 1 \cdot (2,2 - 1)} = 0,028 \text{ o.e.}$$

Коэффициент пропорциональности

$$C_1 = 1 + \frac{I_0}{2 \cdot K_i \cdot I_H} = 1 + \frac{56,078}{2 \cdot 6,9 \cdot 322,497} = 1,013 \text{ o.e.}$$

$$A_1 = \frac{m \cdot U^2_{1\phi} \cdot (1 - S_H)}{2 \cdot C_1 \cdot K_{max} \cdot P_H} = \frac{3 \cdot 380^2 \cdot (1 - 0,0066)}{2 \cdot 1,013 \cdot 2,2 \cdot 315000} = 0.307 \text{ Ом.}$$

Активное сопротивление цепи статора:

$$R_1 = C_1 \cdot R_2 \cdot \beta = 1,013 \cdot 0,0082 \cdot 1 = 0,0083$$

Значение индуктивного сопротивления короткого замыкания:

$$X_k = C_1 \cdot R_2 \cdot \gamma = 1,013 \cdot 0,0082 \cdot 35,8 = 0,298 \text{ Ом},$$
 где, $\gamma = \sqrt{(\frac{1}{S_k})^2 - \beta^2} = \sqrt{(\frac{1}{0,028})^2 - 1^2} = 35,8 \text{ o.e.}$

Индуктивное сопротивление ротора, приведенное к обмотке ротора:

$$X_2' = \frac{0.58 \cdot X_k}{C_1} = \frac{0.58 \cdot 0.298}{1.013} = 0.171 \text{ Om.}$$

Индуктивное сопротивление статора:

$$X_1 = 0.42 \cdot X_k = 0.42 \cdot 0.298 = 0.125 \text{ Om.}$$

Значение критического скольжения:

$$S_k = C_1 \cdot \frac{R_2}{\sqrt{R_1^2 + X_k^2}} = 1,013 \cdot \frac{0,0082}{\sqrt{0,0083^2 + 0,298^2}} = 0,028 \text{ o.e.}$$

ЭДС ветви намагничивания в обмотке статора:

$$E_1 = \sqrt{(U_{1H} \cdot \cos\varphi_{1H} - R_1 \cdot I_{1H})^2 + (U_{1H} \cdot \sin\varphi_{1H} + X_1 \cdot I_{1H})^2} =$$

$$= \sqrt{(380 \cdot 0.9 - 0.083 \cdot 322.497)^2 + (380 \cdot 0.436 - 0.125 \cdot 322.497)^2} = 361,692 \text{ B}.$$

Индуктивное сопротивление намагничивания:

$$X_{\mu H} = \frac{E_1}{I_0} = \frac{361,692}{56,078} = 6,45 \text{ Om.}$$

В таблице 3 привели параметры схемы. Далее производим расчет механических и электромеханических характеристик.

Таблица 3 – Расчетные параметры схемы замещения АД

R ₁ ,Ом	R ₂ ,O _M	$X_{_{KH}}$,OM	X_{1H} ,OM	X_{2H} ,OM	Х _{шн} ,Ом
0,0083	0,0082	0,298	0,125	0,171	6,45

2.3. Расчет и построение естественной механической и электромеханической характеристик электродвигателя

Естественная механическая характеристика асинхронного двигателя:

$$\begin{split} M(s) &= \frac{3 \cdot U_{1H}^2 \cdot R_2^{'}}{\omega_0 \cdot s \cdot (X_{KH}^2 + (R_1 + \frac{R_2^{'}}{s})^2 + (\frac{R_1 \cdot R_2^{'}}{s \cdot X_{\mu H}})^2)} = \\ &= \frac{3 \cdot 380^2 \cdot 0,0082}{157 \cdot s \cdot (0,298^2 + (0,0083 + \frac{0,0082}{s})^2 + (\frac{0,0083 \cdot 0,0082}{s \times 6,45})^2} \end{split}$$

Естественная механическая характеристика двигателя представлена на рисунке 6.

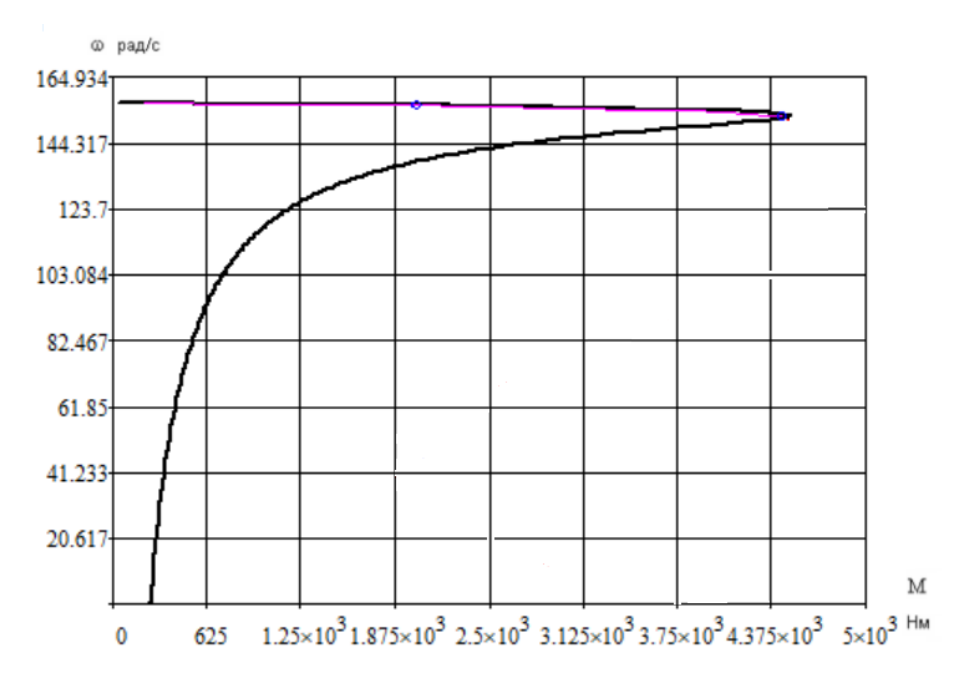


Рисунок 6 — Естественная механическая характеристика асинхронного двигателя $M = f(\omega)$

Номинальный момент двигателя:

$$M_{H} = \frac{P_{H}}{\omega_{H}} = \frac{315000}{156.043} = 2019 \text{ H} \times \text{M}.$$

Минимальный момент двигателя:

$$M_{_{MИH}}{=}k_{_{MИH}}\cdot M_{_{H}}{=}0.9\cdot 2019{=}1827{,}81~H{\times}_{M}.$$

Максимальный момент двигателя:

$$M_{_{MAKC}}\!=\!\!k_{_{MAKC}}\cdot M_{_{H}}\!=\!\!2.3\!\cdot\!2019\!\!=\!\!4497~H\!\!\times_{\!M}.$$

Пусковой момент двигателя:

$$M_{_{\rm II}} = k_{_{\rm II}} \cdot M_{_{\rm H}} = 1 \cdot 2019 = 2019 \text{ H} \times_{M}.$$

Естественная механическая характеристика:

$$I_{2}^{'}(s) = \frac{U_{1H}}{\sqrt{(R_{1} + \frac{R_{2}^{'}}{\omega_{0} - \omega})^{2} + (X_{1H} + X_{2H}^{'})^{2}}} = \frac{380}{\sqrt{(0,0083 + \frac{0,0082}{157,08 - \omega}) + (0,125 + 0,171)^{2}}}$$

Ток статора I_1 определяется путем сложения вектора тока намагничивания I_0^- и вектора тока ротора I_2^+ I и вектора тока ротора согласно векторной диаграмме (см. рисунок - 5). Полагаем ток намагничивания асинхронного двигателя I_0 реактивным I_{0A} =0

Ток статора:

$$I_{1}(s) = \sqrt{I_{0}^{2} + I_{2}^{'}(\omega)^{2} + 2 \cdot I_{0} \cdot I_{2}^{'}(\omega) \cdot \sin\varphi_{2}} = \sqrt{56,078^{2} + I_{2}^{'}(\omega)^{2} + 2 \cdot 56,078 \cdot 0,436 \cdot I_{2}^{'}(\omega)}.$$

Естественная электромеханическая характеристика $I_1 = f(w)$ приведена на рисунке 7.

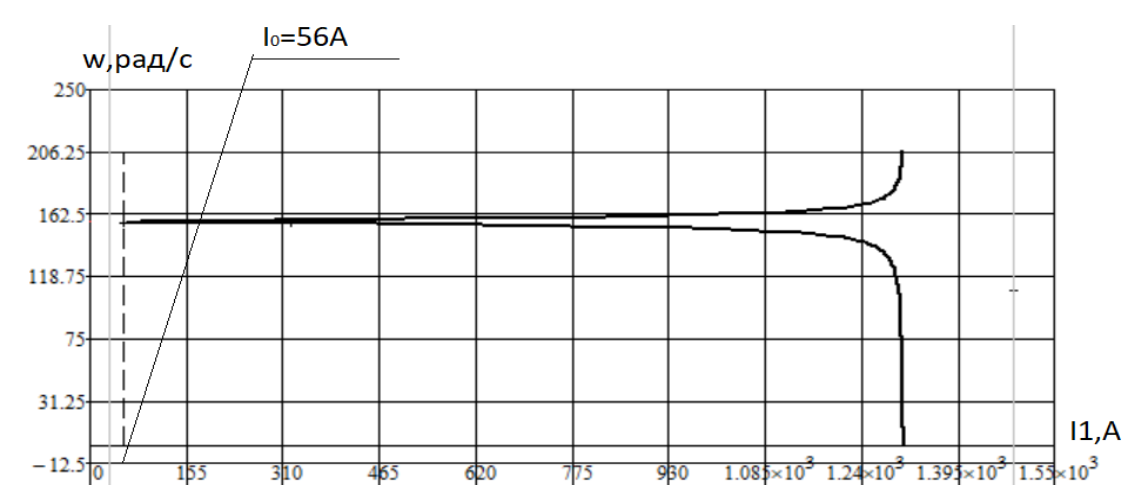


Рисунок 7 — Электромеханическая характеристика асинхронного двигателя $\mathbf{I}_1 = \mathbf{f}(\mathbf{w})$

2.4. Статические характеристики вентилятора при регулировании

 $\frac{U_{lj}}{f_{lj}^{-2}} = const$ скорости по закону регулирования $\frac{U_{lj}}{f_{lj}^{-2}} = const$ с IR-компенсацией

IR компенсация нужна для работы электропривода на низких частотах. Для регулирования скорости законом $\frac{U_{lj}}{f_{lj}^2}$ =const c IR компенсацией, нужно увеличивать фазное напряжение на двигателе на величину определенное

увеличивать фазное напряжение на двигателе на величину, определенное уравнением $U_{1j} = E_{1j} + I_1 \times R_1$, т.е. на величину падения напряжения R1 [13].

$$\begin{split} &f_{1\text{H}1} \!=\! 50\Gamma\text{L}; &f_{11}^* \!=\! \frac{f_{1\text{H}1}}{f_{1\text{H}}} \!=\! \frac{50}{50} \!=\! 1; \\ &f_{1\text{H}2} \!=\! 40\Gamma\text{L}; &f_{12}^* \!=\! \frac{f_{1\text{H}2}}{f_{1\text{H}}} \!=\! \frac{40}{50} \!=\! 0,\! 8; \\ &f_{1\text{H}3} \!=\! 30\Gamma\text{L}; &f_{13}^* \!=\! \frac{f_{1\text{H}3}}{f_{1\text{H}}} \!=\! \frac{30}{50} \!=\! 0,\! 6; \\ &f_{1\text{H}4} \!=\! 25\Gamma\text{L}; &f_{14}^* \!=\! \frac{f4}{f_{1\text{H}}} \!=\! \frac{25}{50} \!=\! 0,\! 5. \end{split}$$

Для поддержания отношения $\frac{U_{1j}}{f_{1j}^{\ 2}}$ = const необходимо изменять U:

$$\begin{split} &U_{1\text{H}2}\!=\!0,\!152\cdot f_{1\text{H}2}^{2} \quad U_{1\text{H}2}\!=\!243,\!2\text{B};\\ &U_{1\text{H}3}\!=\!0,\!152\cdot f_{1\text{H}3}^{2} \quad U_{1\text{H}3}\!=\!136,\!8\text{B};\\ &U_{1\text{H}4}\!=\!0,\!152\cdot f_{1\text{H}4}^{2} \quad U4\!=\!95\text{B},\\ &\text{где }Z_{p}\!=\!\frac{U_{1\text{H}}}{f_{1\text{H}}^{2}}\!=\!0,\!152. \end{split}$$

Синхронная скорость на естественной характеристике:

$$\omega_0 = \frac{n_0}{9,55} = 157,08 \text{ рад/с}.$$

Синхронная скорость на регулировочных характеристиках:

$$\omega_{12} = \omega_0 \cdot f_{12}^* = 157,08 \text{ рад/c};$$
 $\omega_{13} = \omega_0 \cdot f_{13} = 78,54 \text{ рад/c};$

$$\omega_{14} = \omega_0 \cdot f_{14}^* = 31,416$$
 рад/с.

Рассчитаем электромеханические характеристики АД $I_{2}^{'}=f(\omega)$ при различных значениях частот обмоток статора:

$$I_{2}'(s) = \frac{U_{1}}{\sqrt{(R_{1} + \frac{R_{2}^{'}}{s})^{2} + X_{k}^{2} \cdot f_{1} + (\frac{R_{1} \cdot R_{2}}{s \cdot X_{\mu} \cdot f_{1}})^{2}}},$$

где,
$$s_j = \frac{\omega_{0j} - \omega}{\omega_{0j}}$$
-относительное скольжение.

Электромеханические характеристики представлены на рисунке 8.

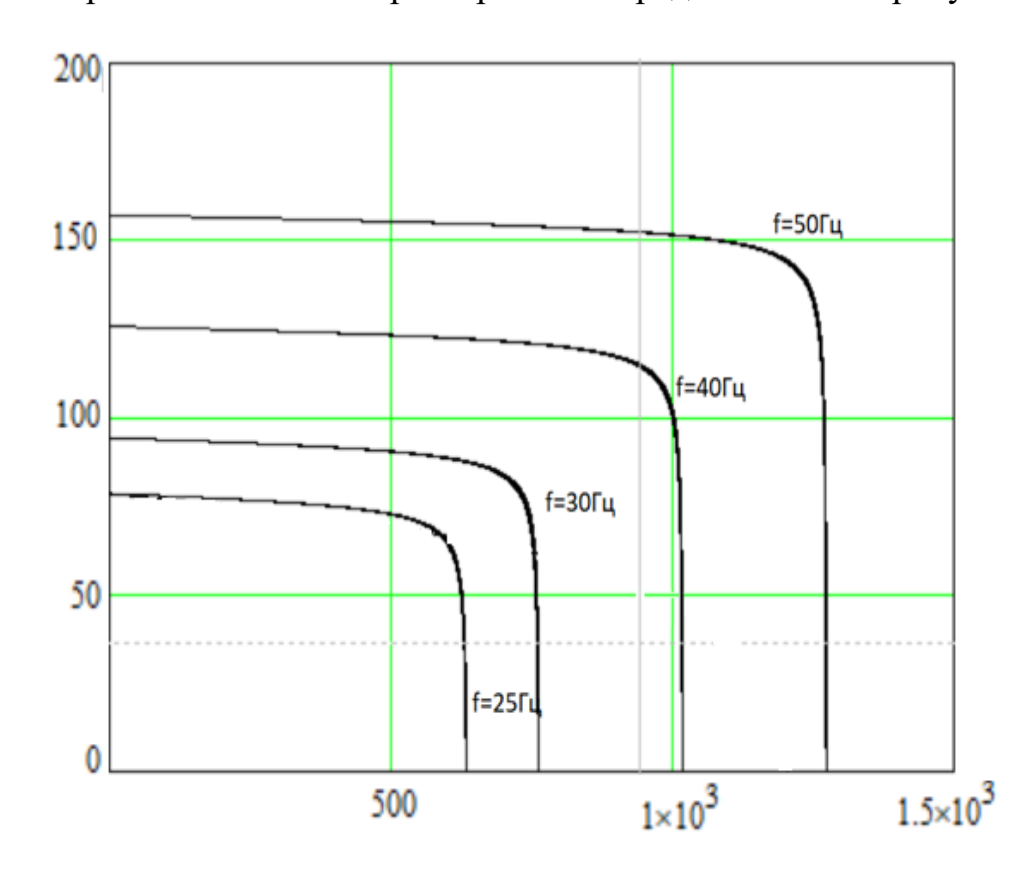


Рисунок 8 – Электромеханические характеристики $I_2^{'}=f(\omega)$.

Рассчитаем электромеханические характеристики АД I1=f(ω) при различных значениях частот обмоток статора. Полагая ток намагничивания асинхронного двигателя реактивным (I_{0A} =0), ток статора I1 через приведенный ток ротора $I_{2}^{'}$ можно найти по формуле:

$$I_{1}(s) = \sqrt{I_{0}^{2} + I_{2j}^{'}(s)^{2} + 2 \cdot I_{0} \cdot I_{2j}^{'}(s) \cdot \sin\varphi_{2j}(s)},$$

где
$$\sin \phi_{2j}(s)$$
=arcsin
$$\left[\frac{X_{_{KH}} \cdot f_{1j}^*}{\sqrt{(R_1 + \frac{R_2^{'}}{s})^2 + X_{_{KH}}^2 \cdot f_{1j}^{*2}}} \right]$$

Выражение для расчета механических характеристик:

$$M(s) = \frac{3 \cdot U_{1} \cdot R_{2}^{'}}{\omega_{0_{H}} \cdot s \cdot \left[X_{-\kappa}^{2} \cdot f_{1}^{2} + (R_{1} + \frac{R_{2}^{'}}{s})^{2} + (\frac{R_{1} \cdot R_{2}^{'}}{s \cdot X_{\mu} \cdot f_{1}})^{2} \right]}.$$

Электромеханические характеристика АД $I1=f(\omega)$ представлена на рисунке 9.

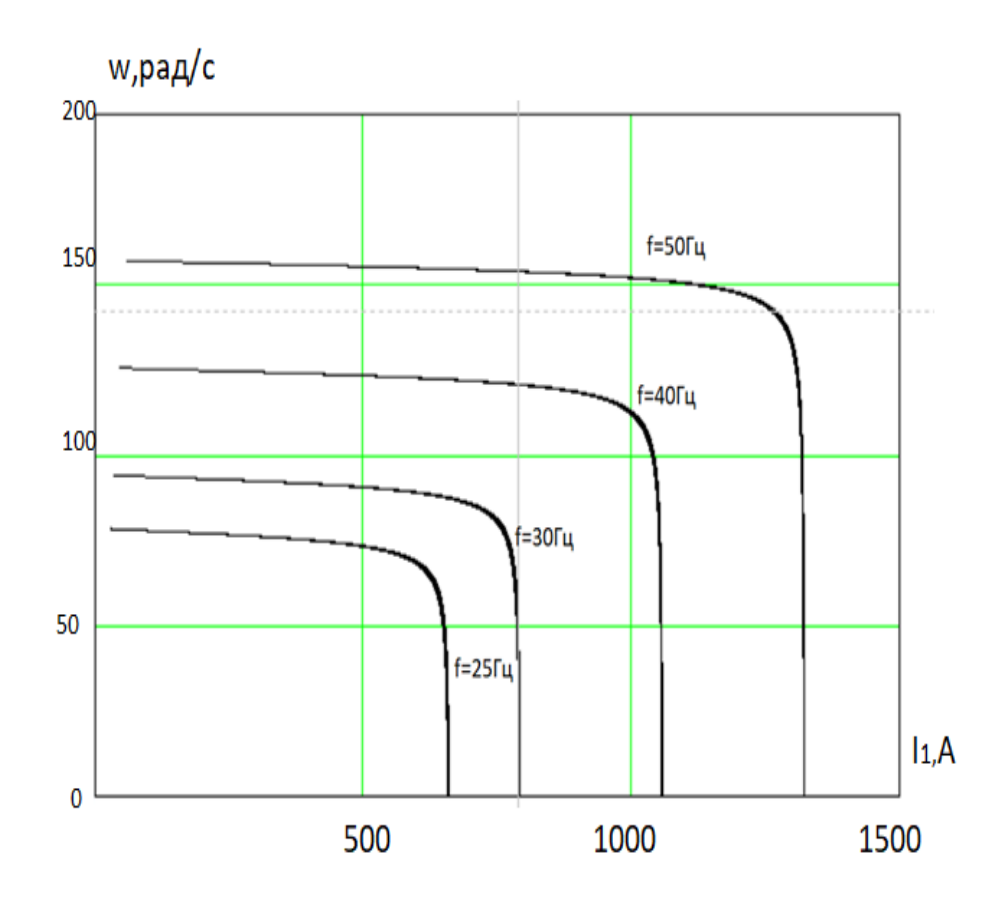


Рисунок 9 — Электромеханические характеристики $I1=f(\omega)$

Механическая характеристика АД M=f(w) представлена на рисунке 10.

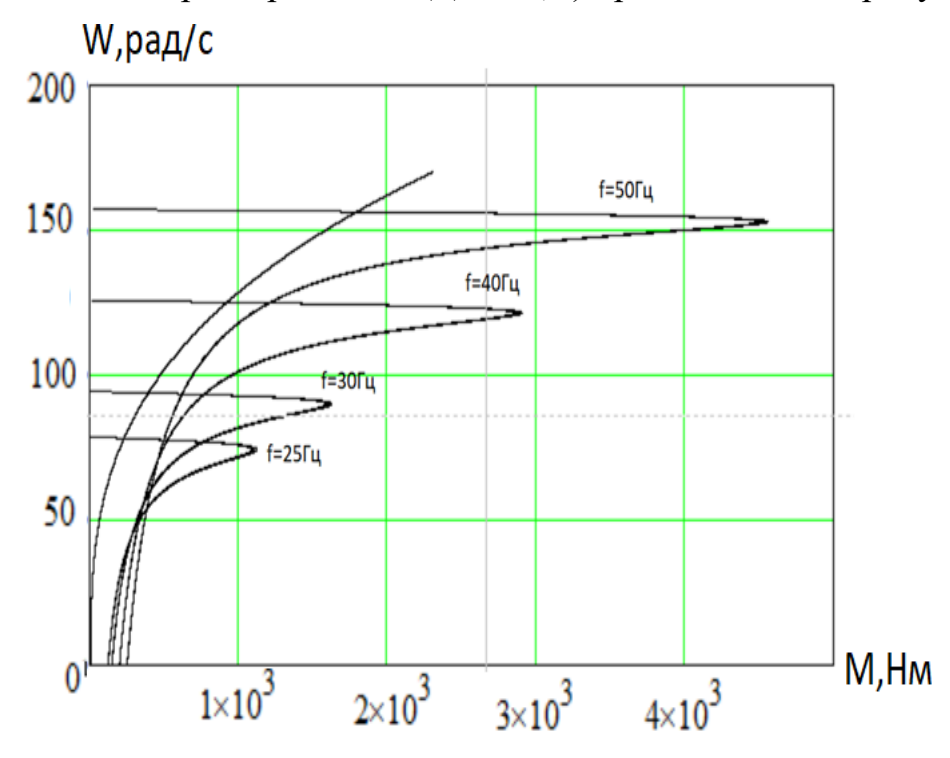


Рисунок 10 – Механические характеристики M=f(w)

3. РЕЖИМЫ ПРАВЛЕНИЯ ЭЛЕКТРОДВИГАТЕЛЯМИ И ВЫБОР ПРЕОБРАЗОВАТЕЛЯ ЧАСТОТЫ

3.1. Режимы управления электродвигателями

Существуют различные характеры нагрузки электропривода: экструдер, вентилятор, насос, конвейер и т.д. Для каждой из нагрузок существует режимы управления электродвигателем, соблюдая зависимость между скоростью вращения вала электродвигателя и выходным напряжением [7].

На рисунке 11 представлены механические характеристики типичных нагрузок электродвигателя.



Рисунок 11 — механические характеристики типичных нагрузок электродвигателя

Нагрузку с линейной зависимостью (закон $\frac{U}{f}$ = const) исполняется простыми преобразователями частоты и обеспечивает постоянный момент нагрузки в основном для управления синхронными двигателями.

Для регулирования насосов и вентиляторов закон: $\frac{U}{f^2}$ =const, а для конвейеров $\frac{U}{\sqrt{f}}$ =const.

3.2. Выбор преобразователя частоты законом управления $\frac{\mathrm{U}}{\mathrm{f}^2}$ =const

Регулирование электроприводов вентиляторов и центробежных насосов применяют закон управления $\frac{U}{f^2}$.

Выбираем преобразователь частоты MIDIMASTER Eco6SE95 315кВт, основные технические параметры которого представлены на рис 12 [8].

Тип преобразователя частоты	MICROMASTER Eco 6SE95	MIDIMASTER Eco 6SE95	
Диапазон мощностей	0,757,5 кВт	5,5315 кВт	
Напряжение питания	3 фазы, 208-240 B ±10% 3 фазы, 380-500 B ±10% 3 фазы, 380-460/480/50 3 фазы, 525-575 B		
Перегрузочная способность	150% от номин. тока 110% от номин. т в течение 60 с в течение 60 с		
Метод управления	Режим оптимизации электропотребления (Eco) Вольт-частотный квадратичный (U/f²)		
Дискретные входы (программируемые)	6	6	
Аналоговое входы	2 (010 B, 210 B, ±10 B, 0/420 mA)		
Аналоговые выходы	1 (0/4-20 mA)	2 (0/4-20 mA)	
Дискретные релейные выходы (параметрируемые)	2 (230 B/1,0 A перем. тока)	2 (230 B/1,0 A перем. тока)	
Фиксированные частоты	8	8	
Способы торможения	Генераторное, динамическое, комбинированное		
Метод охлаждения	Вентилятор Вентилятор		
Диапазон рабочих температур	От О до 50°C	От О до 40°C	
Степень защиты	IP20/IP56	IP21/IP56	

Рисунок 12 – технические характеристики MIDIMASTER Eco6SE95 Структурная схема преобразователя частоты MIDIMASTER Eco6SE95 на рисунке 13.

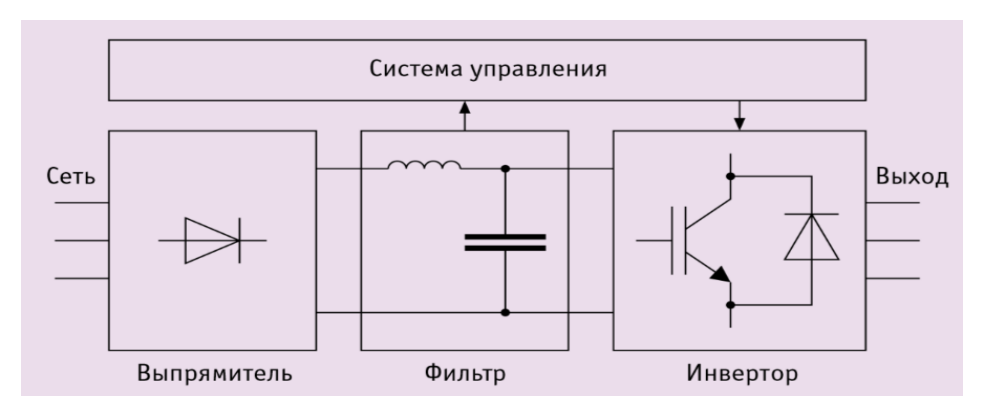


Рисунок 13 — Структурная схема выбранного преобразователя частоты Преобразователь MIDIMASTER Eco6SE95 преобразовывает переменное напряжение сети при помощи диодного выпрямителя. При помощи индуктивно-емкостного фильтра выпрямленное напряжение сглаживается и инвертор выполненный на основе IBGT модулей преобразует постоянный ток

в переменный, обеспечивая выходной сигнал с нужными значениями частоты и напряжения.

На рисунке 14 представлен внешний вид преобразователя частоты MIDIMASTER Eco6SE95.



Рисунок 14 — внешний вид преобразователя частоты MIDIMASTER Eco6SE95

Модуль LOGO представлен на рисунке 15:



Рисунок 15 – модуль LOGO.

Изменение работы осуществляется ступенчатым изменением скорости двигателя шахтного вентилятора при помощи преобразователя частоты.

Управление осуществляется при помощи логического модуля LOGO (рис.15), в котором имеются часы реального времени, что позволяет через дискретные выходы выбирать требуемое выходной частоты преобразователя.

На рисунке 16 показана системе регулирования производительности вентилятора:

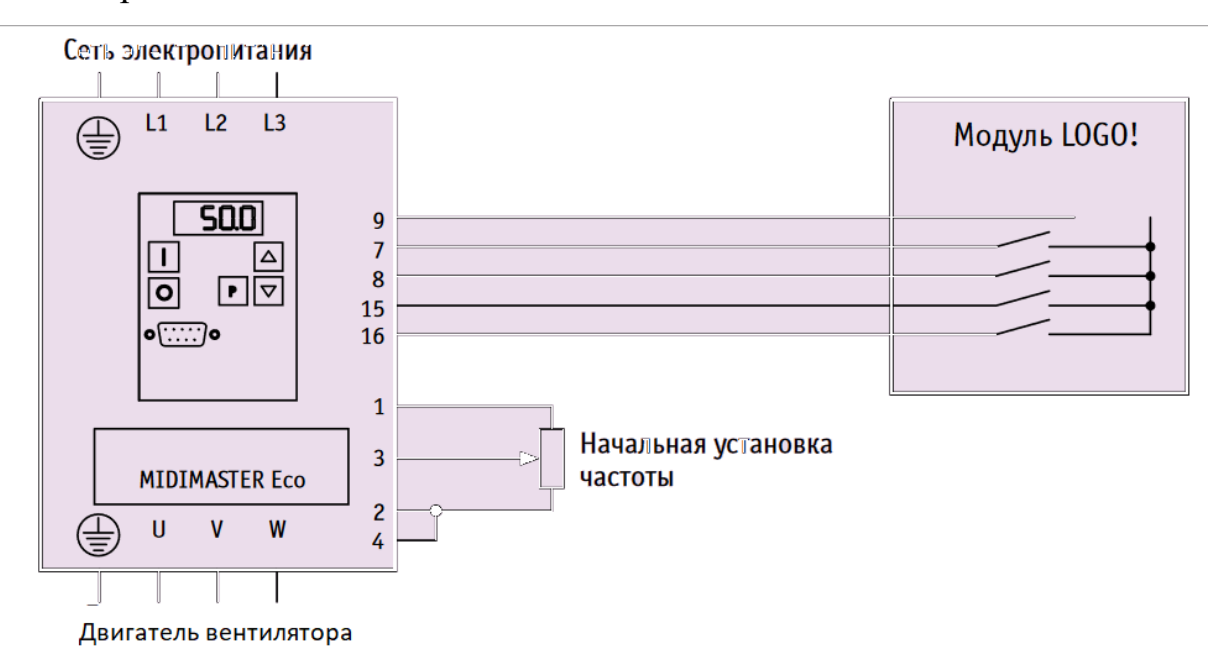


Рисунок – 16 система регулирования производительности вентилятора.

Система поддержания постоянной скорости в шахте с датчиком скорости: через аналоговый вход номер1 выставляется при помощи потенциометра нужная скорость. Датчик скорости преобразует обороты/минуту в электрический сигнал. При помощи дополнительного источника питания осуществляется питание датчика скорости.

Управление преобразователем частоты осуществляется при помощи пульта управления (рис18). Управление осуществляется набором параметров, заданием значения параметра и контролировать значение параметра, напримервремя разгона, минимальные и максимальные частоты и другое. Эти параметры изменяют при помощи кнопок мембранной клавиатуры пульта управления.

На рисунке 17 представлена система поддержания постоянной скорости в шахте с датчиком скорости:

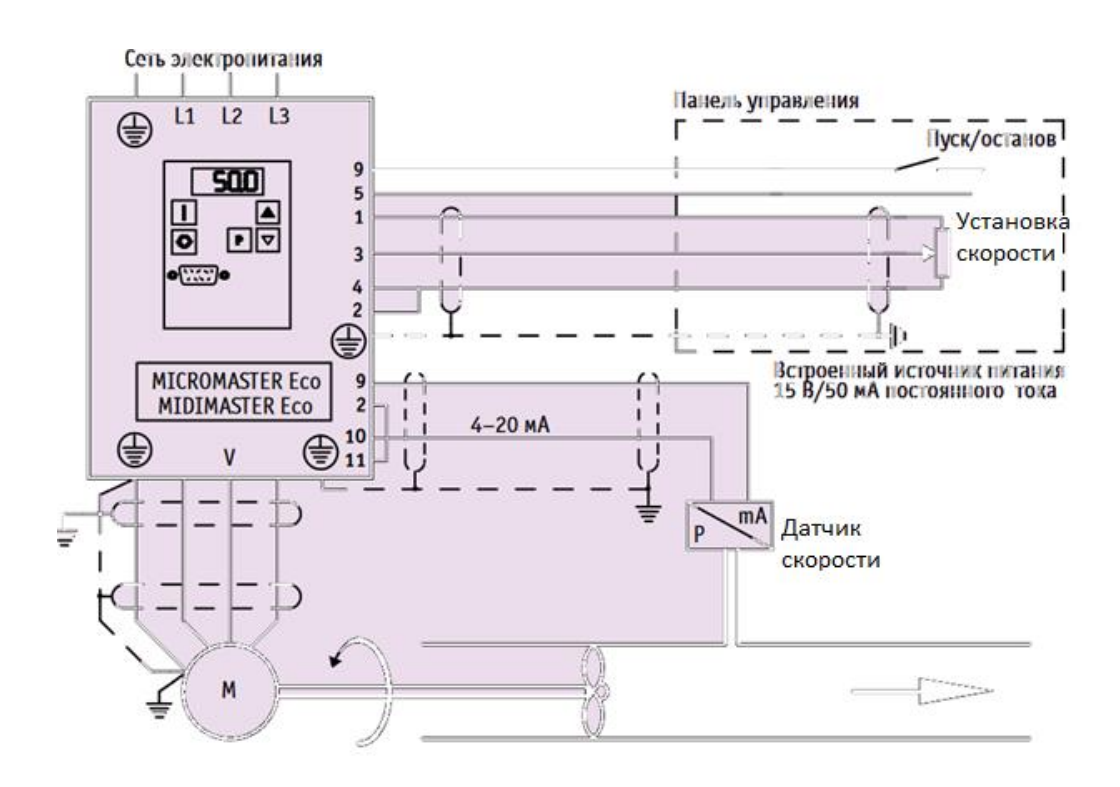


Рисунок 17 — Система поддержания постоянной температуры в шахте с датчиком скорости.

На рисунке 18 представлен пульт управления преобразователем частоты:



Рисунок 18 – пуль управления преобразователем частоты Но следует отметить, что для установления оптимальных режимов

работы при максимальной эффективности требуется глубокие знания самого процесса и оборудования привода. Поэтому в преобразователе частоты MIDIMASTER Eco6SE95 выделяется группа параметров, при помощи которых осуществляется быстрый ввод привод в работу. Другие группы параметров (экспертные) для точной настройки.

4. ИССЛЕДОВАНИЕ ДИНАМИКИ ЭЛЕКТРОПРИВОДА

4.1Расчет динамических характеристик электропривода

Исследуем АД в динамике. Это нужно, потому что параметры схемы замещения АД найдены при помощи методики, у которой может быть погрешность. Моделирование будет производиться в программной среде МАТLAВ [9].

Схема имитационной модели асинхронного двигателя в программной среде MATLAB-Simulink приведена на рисунке 19

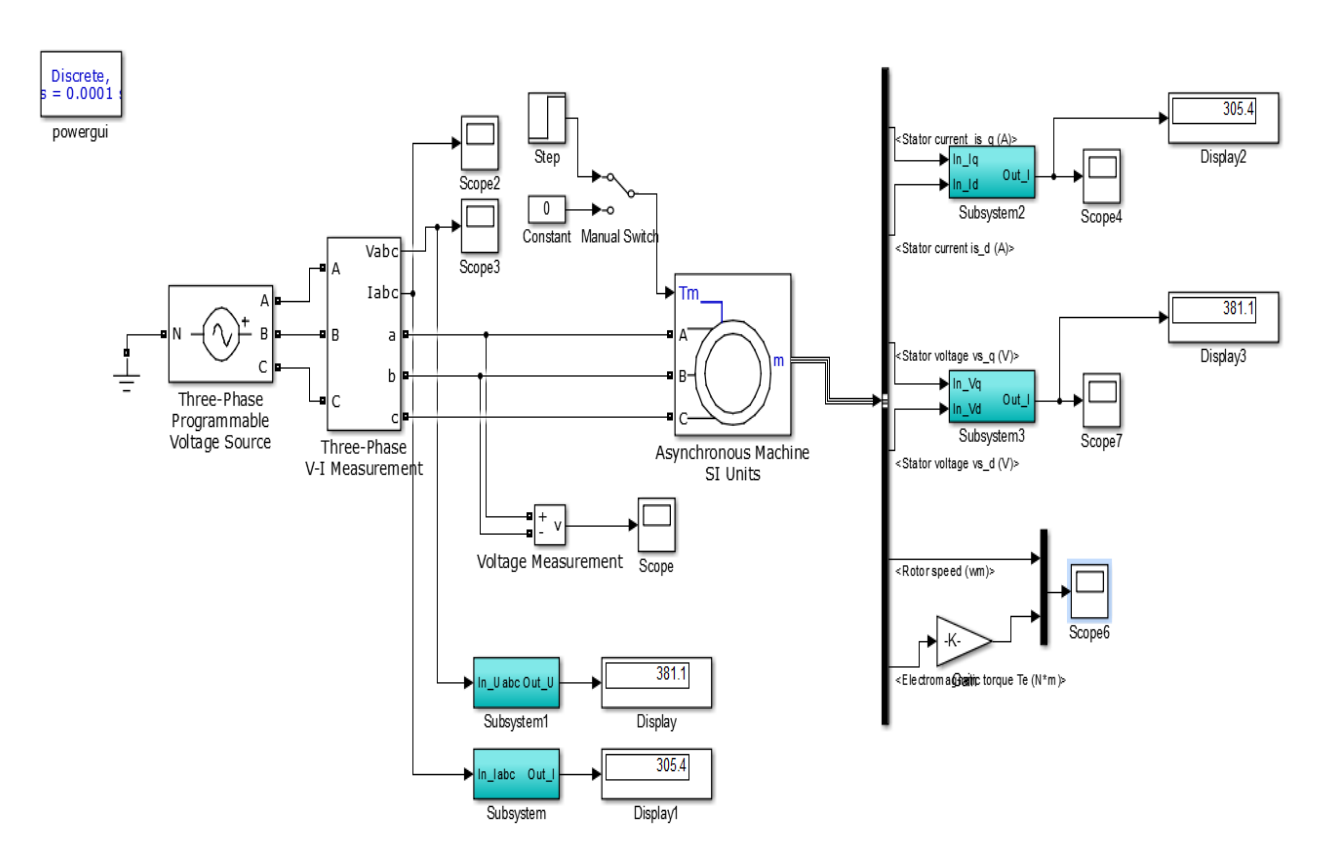
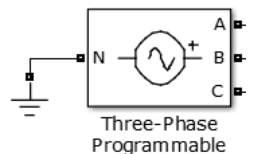


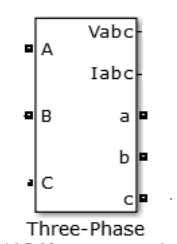
Рисунок 19 — Имитационная модель асинхронного двигателя в программной среде MATLAB-Simulink

Рассмотрим элементы имитационной модели асинхронного двигателя:

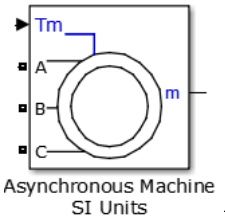


Voltage Source — Это блок для генерации трехфазного синусоидального напряжения с изменяющимися во времени параметрами. Вы можете

запрограммировать изменение во времени для амплитуды, фазы или частоты основного компонента источника. Кроме того, две гармоники могут быть запрограммированы и наложены на основной сигнал.



V-I меаsurement — Трехфазный измерительный блок V-I используется для измерения мгновенных трехфазных напряжений и токов в цепи. При последовательном соединении с трехфазными элементами, он возвращает три пиковых напряжения и тока между фазой и землей или между фазами.



– Блок асинхронного двигателя.

Ввод параметров схемы замещения асинхронного двигателя в программе MATLAB-Simulink приведен на рисунке 20.

```
parameters1.m 🔀
          $Параметры двигателя
             = 50;
             = 660;
          Pn = 315*1000;
             = 2;
          n = 1490;
          vn = (2*3.14*1490)/60;
          Mn = 2019;
10
11 -
          R1 = 8.329/1000;
12 -
          X1 = 0.125;
13 -
          L1 = X1/(2*pi*f);
1.4
15 -
16 -
17 -
18
          R2 = 8.226/1000;
          L2 = X2/(2*pi*f);
19 -
20 -
          Xn = 6.45;
          Ln = Xn/(2*pi*f);
21
22 -
          h = 0.000001;
```

Рисунок 20 — Ввод параметров схемы замещения асинхронного двигателя в программе MATLAB-Simulink

Графики переходных процессов скорости $\omega = f(t)$ и момента M = f(t) при пуске асинхронного электродвигателя прямым включением в сеть приведены на рисунке 21:

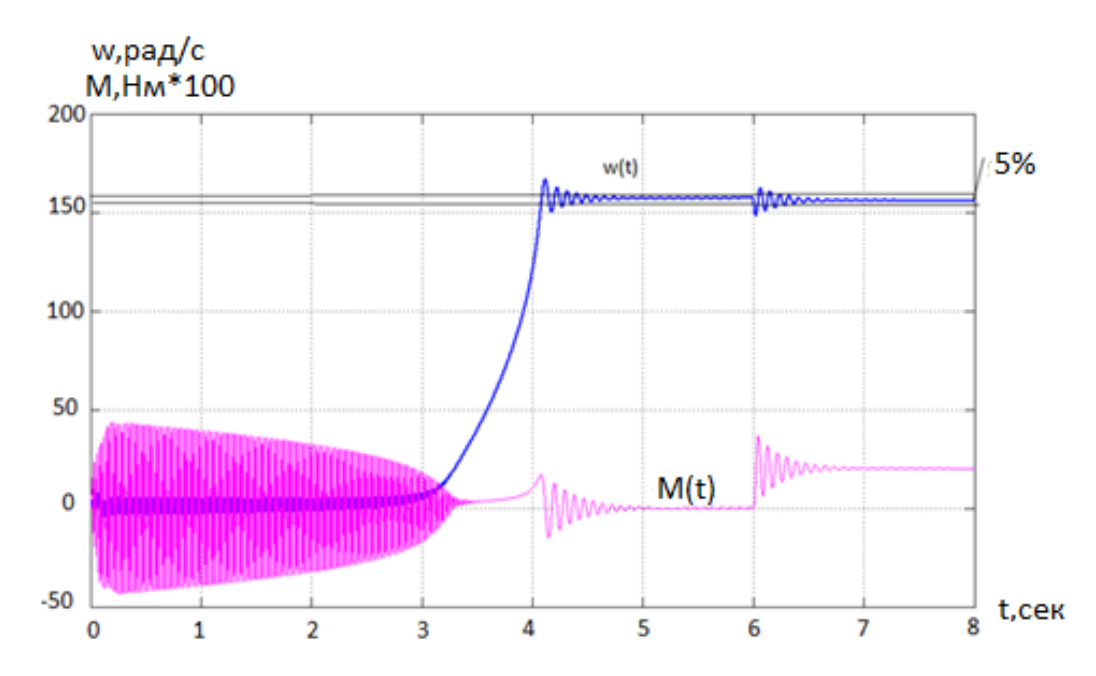


Рисунок 21 — График переходных процессов скорости $\omega = f(t)$ и момента M=f(t) при пуске асинхронного электродвигателя прямым включением в сеть

Из рисунка 21 можно выделить следующие показатели качества скорости:

- перерегулирование σ =3,4%;
- время регулирования t=4,2 сек;
- установившееся значение скорости ω_{yct} =154 рад/с;
- установившееся значение момента M_{yct} = 2018 H×м.

Также из рисунка 19 можно выделить то, что переходный процесс в режиме холостого хода двигатель достиг синхронной скорости ω_0 =157 рад/с. Наброс нагрузки произошёл на 6ой секунде, а максимальный момент при включении напрямую в сеть $M_{\text{макс}}$ =3800 Н×м.

График переходных процессов тока статора $I_{\mathbf{c}}$ без ограничения тока представлен на рисунке 22.

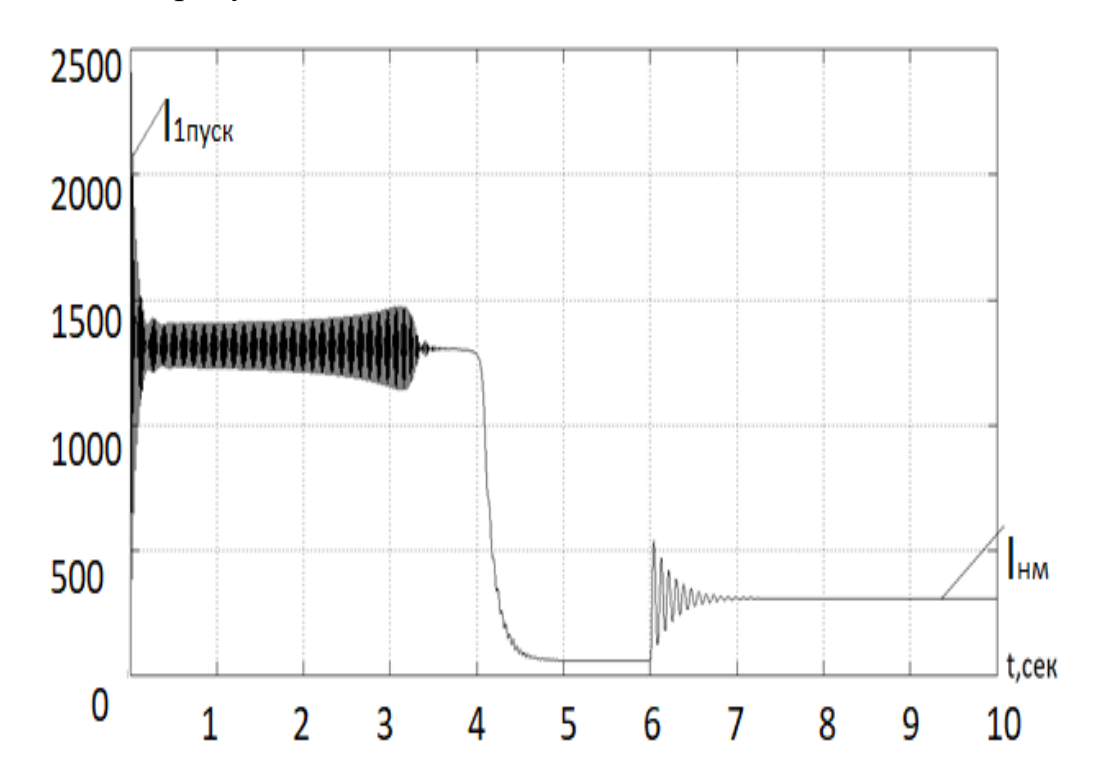


Рисунок 22 — График переходных процессов тока статора ${\rm I_{c}}$ без ограничения тока

Пусковой ток АД, найденный по результатам переходных процессов:

$$I_{\text{пуск}} = \frac{I_{1\text{пуск.m}}}{\sqrt{2}} = \frac{2100}{\sqrt{2}} = 1485 \text{ A},$$

где $I_{1пуск.m}$ -амплитудное значение тока статора.

Максимальный ток, потребляемый двигателем при прямом пуске:

$$I_{\pi} = k_{\tau} \cdot I_{1H} = 7 \cdot 322,497 = 2258 A,$$

где
$$k_{_{\mathrm{T}}} = \frac{I_{_{\mathrm{\Pi}}}}{I_{_{1\mathrm{H}}}} = 7;$$

 ${
m I}_{
m l_{
m H}}$ -номинальный ток обмотки статора АД.

Номинальный ток статора по результатам расчета переходных процессов тока статора $I_{\text{\tiny HM}} = 320 \text{A}$. (рисунок 23).

4.2. Исследование скалярной системы автоматического управления электроприводом с законом управления $\frac{U_{1j}}{f_{1j}^{\ 2}} = const$

Строим имитационную модель в программной среде MATLUB и снимаем переходные процессы системы преобразователь частот-короткозамкнутый асинхронный двигатель с законом управления $\frac{U_{1j}}{f_{1i}^{2}}$ =const .

Имитационная модель системы преобразователь частоты- короткозамкнутый асинхронный двигатель с законом управления $\frac{U_{1j}}{f_{1j}^2}$ =const представлена на рисунке 23.

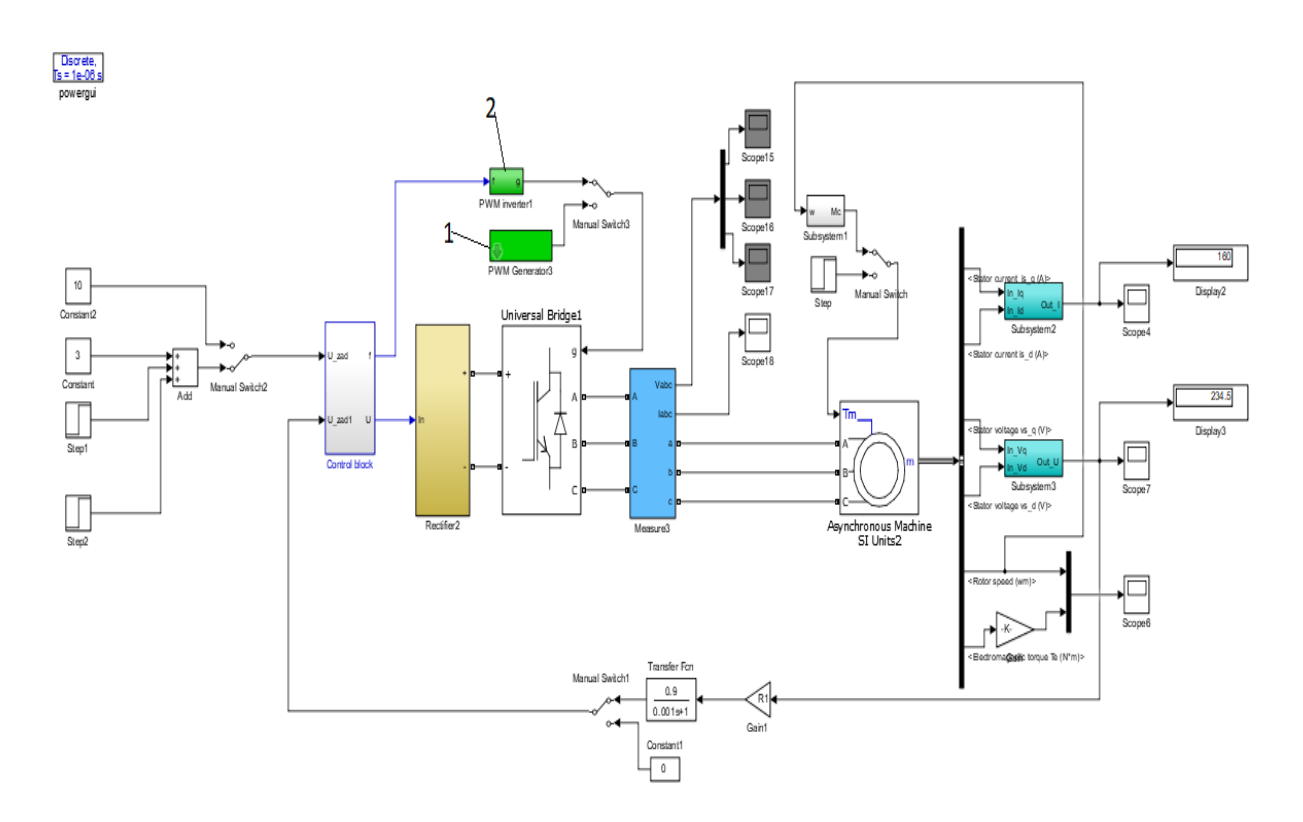
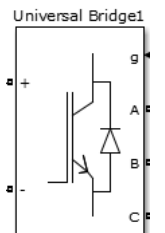


Рисунок 23 — имитационная модель системы преобразователь частот-короткозамкнутый асинхронный двигатель с законом управления $\frac{U_{1j}}{f_{1j}^2}$ =const Рассмотрим элементы рисунка 23:



постоянный.
 Постоянный.
 Постоянный.



— блок трехфазного силового преобразователя, который состоит из шести переключателей питания, соединенных в мостовой конфигурации.

На рисунке 24 представлены переходные процессы момента и скорости при пуске АД с вентиляторной нагрузкой с законом управления $\frac{U_{1j}}{f_{1i}^2}$ =const.

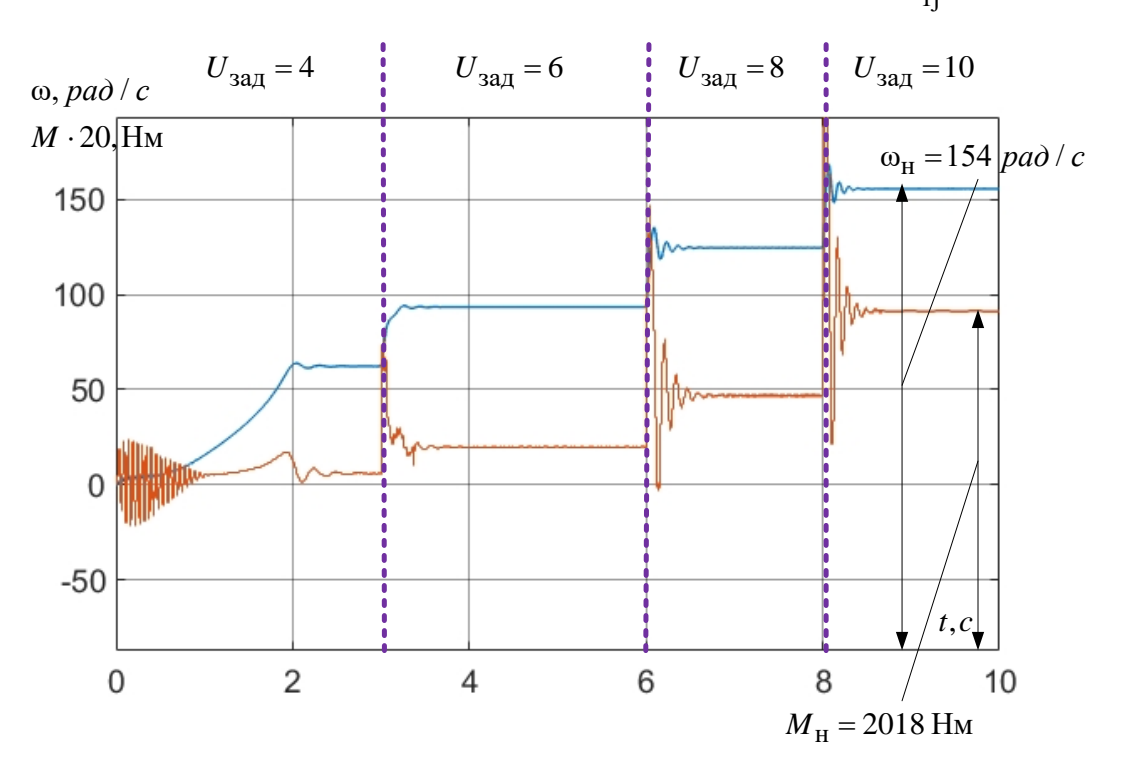


Рисунок 24 — Переходные процессы момента и скорости при пуске АД с вентиляторной нагрузкой

На рисунке 25 представлены переходные процессы тока при пуске АД с вентиляторной нагрузкой.

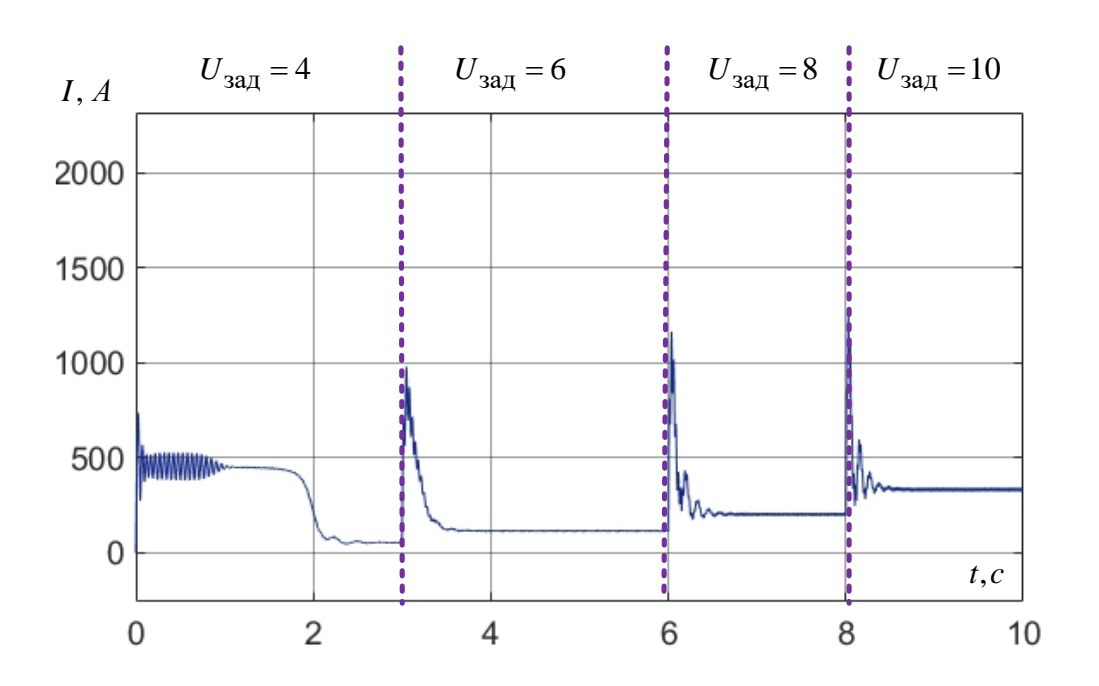


Рисунок 25 — Переходные процессы тока при пуске АД с вентиляторной нагрузкой (закон управления $\frac{U_{1j}}{f_{1j}^2}$ =const)

На рисунке 26 представлена осциллограмма линейного напряжения на выходе инвертора при Uзад = 4.

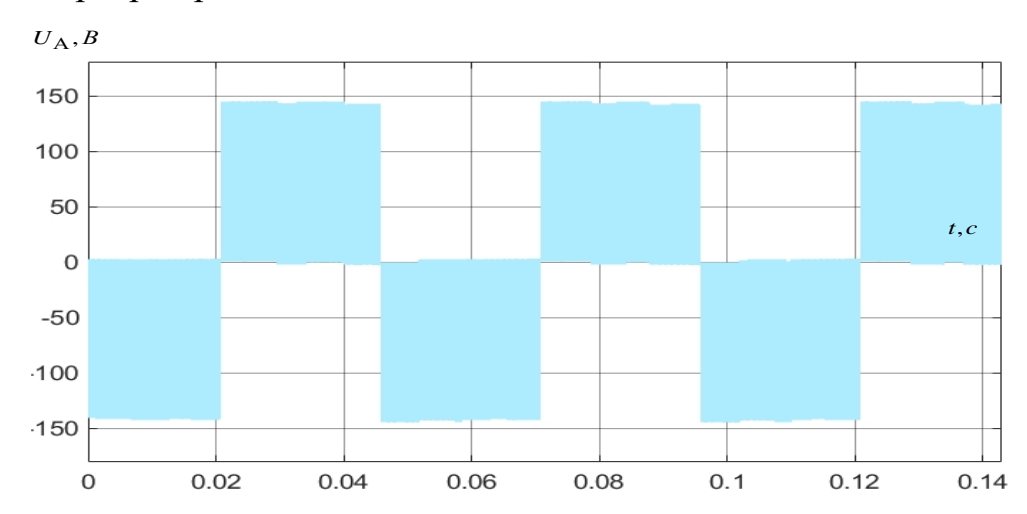


Рисунок 26 — Осциллограмма линейного напряжения на выходе инвертора при Uзад = 4

Из рисунка 24 можно выделить следующие показатели качества скорости с напряжением задания $U_{\text{зад}} = 10\text{B}$:

- перерегулирование σ = 3,4%;
- время регулирования -t = 4,4 сек;
- установившееся значение скорости ω_{ycr} = 154 рад/с;
- установившееся значение момента $M_{ycm} = 2018 \ H \cdot M$.

На рисунке 25 имеется две системы управления инвертором, где блок 1 —стандартный блок системы управления инвертором программной среды MATLAB, а блок 2 — собранная система управления инвертором. Собранная система управления инвертором представлена на рисунке 27.

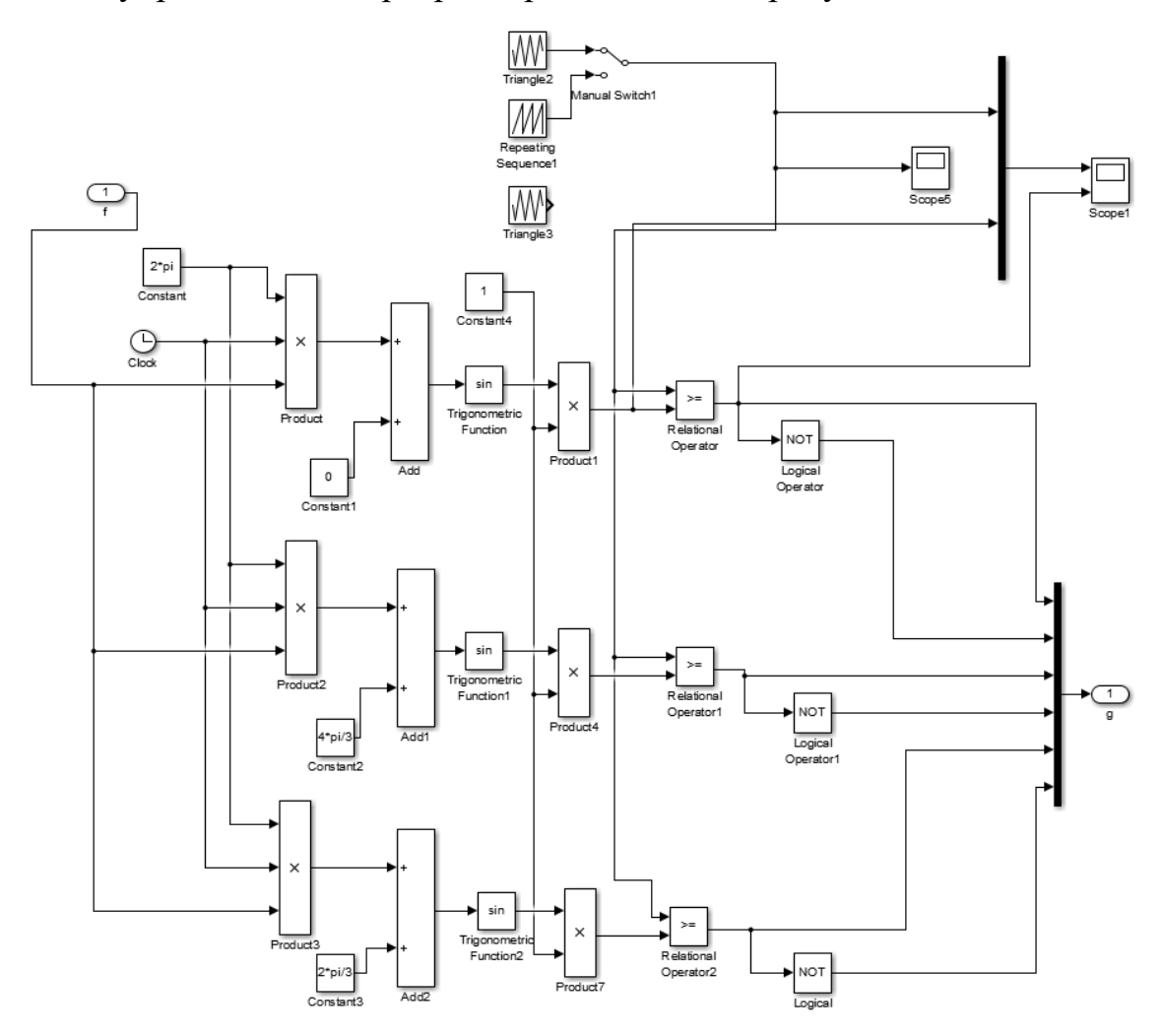


Рисунок 27 – собранная система управления инвертором.

Импульсы генерируются путем сравнения треугольной формы несущей с эталонным модулирующим сигналом. Модулирующие сигналы могут

генерироваться самим генератором ШИМ, или они могут быть вектором внешних сигналов, подключенных на входе блока. Один опорный сигнал необходим для генерации импульсов для одно- или двухплечевого моста, а три опорных сигнала необходимы для генерации импульсов для трехфазного, одиночного или двойного моста.

На рисунке 28 представлена ШИМ инвертора:

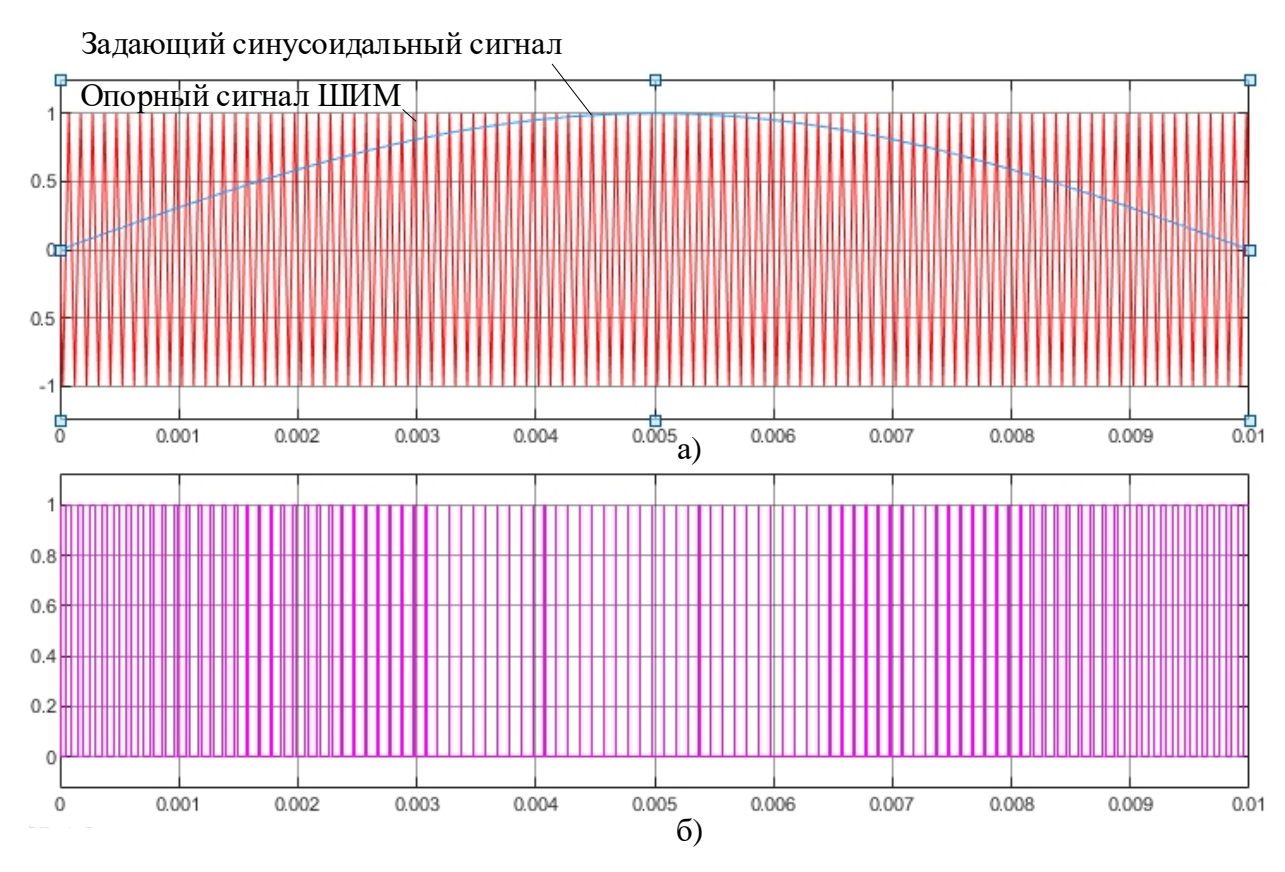


Рисунок 28 — Осциллограммы системы управления ШИМ

а) опорный и задающий синусоидальный сигнал

б) импульсы управления для одной из пар транзисторный пары

Треугольный сигнал сравнивается с задающим синусоидальным сигналом, формируясь в импульсы, которые подаются на транзистор.

На рисунке 29 представлены осциллограммы импульсов управления для трехфазного инвертора напряжения.

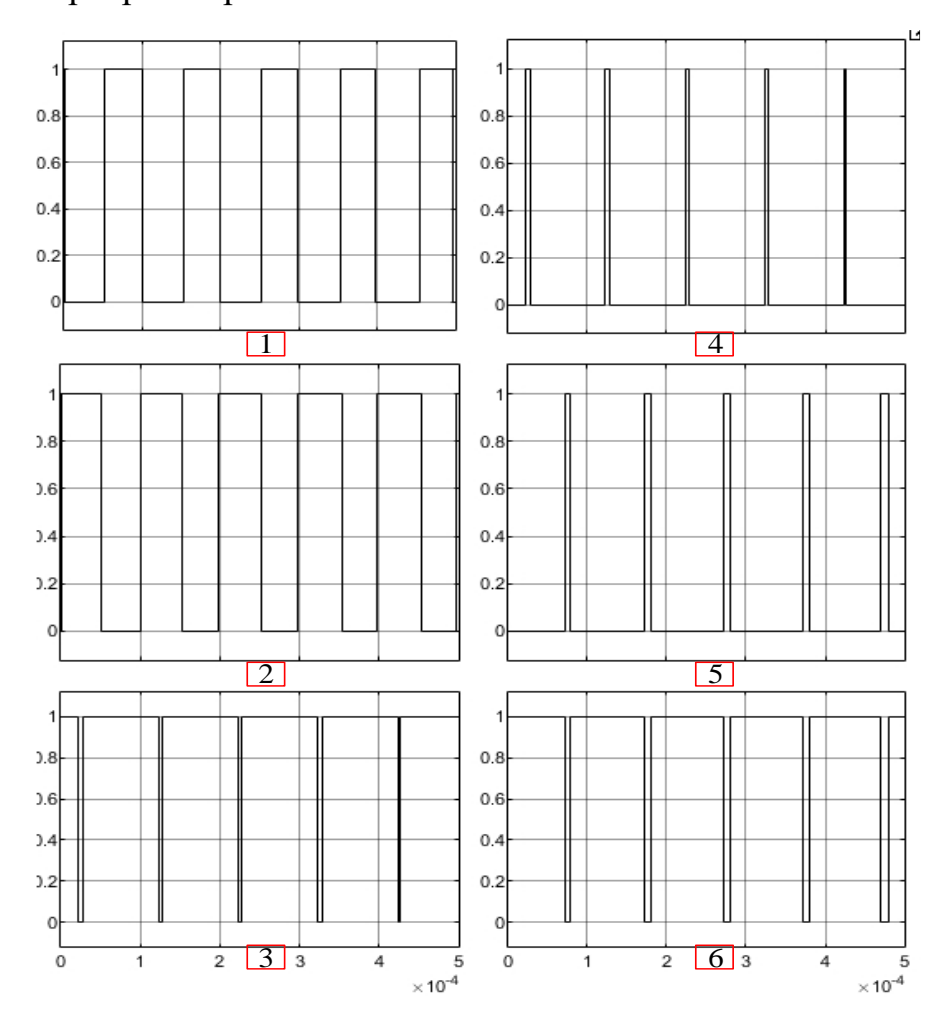


Рисунок 29 — Осциллограммы импульсов управления для трехфазного инвертора напряжения

На рисунке 29 указан номер транзистора для которого формируются импульсы управления, согласно силовой части представленной на рисунке 30.

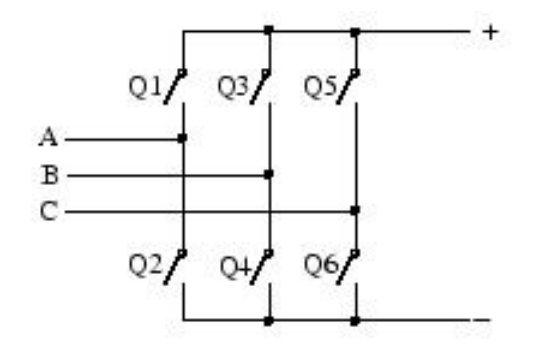


Рисунок 30 — Порядок расположения силовых ключей в силовой части трехфазного инвертора напряжений.

5. ФИНАНСОВЫЙ МЕНЕДЖМЕНТ, РЕСУРСОЭФФЕКТИВНОСТЬ И РЕСУРСОСБЕРЕЖЕНИЕ

Целью данного раздела является обоснование целесообразного использования спроектированного электропривода, выполняемого в рамках выпускной квалификационной работы, при этом детально рассматриваются планово-временные и материальные показатели процесса проектирования.

Достижение цели обеспечивается решением следующих задач:

- составление SWOT анализа работы проектируемого стенда;
- планирование технико конструкторских работ;
- определение ресурсосберегающей эффективности проекта [10].

5.1. SWOT – анализ работы проектируемого стенда

SWOT – анализ является инструментом стратегического менеджмента и представляет собой комплексное исследование технического проекта.

Применительно к проектируемому стенду, SWOT-анализ позволит оценить сильные и слабые стороны, а также его возможности и угрозы.

Для проведения SWOT — анализа составляется матрица SWOT, в которую записываются слабые и сильные стороны проекта, а также возможности и угрозы.

При составлении матрицы SWOT удобно использовать следующие обозначения:

- С сильные стороны проекта;
- Сл слабые стороны проекта;
- B- возможности;
- y yгрозы.

Матрица SWOT приведена в 4.

Таблица 4 – Матрица SWOT

Сильные стороны проекта: Слабые стороны проекта: С1. Высокая энергоэффективность и Сл1. Трудность монтажа системы; энергосбережение технологии; Сл2. Дороговизна оборудования. С2. Экологичность технологии; Сл3. Сложность эксплуатации С3. Квалифицированный персонал; электрооборудования C4. Повышение безопасности производства; С5. Уменьшение затрат на ремонт оборудования; Возможности: Угрозы: В1. Увеличение производительности У1. Отсутствие спроса на технологии электрооборудования; производства; B2. Появление дополнительной У2Ограничения экспорт на автоматизированной системы технологии; У3. управления каротажной станцией; Введения дополнительных В3. Снижение таможенных пошлин государственных требований К на сырье и материалы, используемые сертификации стандартизации И на производстве каротажной продукции; станции; B4. Появление более простых универсальных электрических систем внутризаводской сети;

На основании матрицы SWOT строятся интерактивные матрицы возможностей и угроз (табл. 5, 6), позволяющие оценить эффективность проекта, а также надежность его реализации.

При построении интерактивных матриц используются обозначения аналогичные самой матрицы SWOT с дополнением знаков (+, -) для

подробного представления наличия возможностей и угроз проекта (\ll +» – сильное соответствие; \ll -» – слабое соответствие).

Таблица 5 – Интерактивная матрица возможностей

Возможност	Сильные стороны проекта						
И	C1	C2		C3	C4		C5
B1	+	+		+	+		+
B2	+	-		-	+		-
В3	-	+		-	-		+
B4	+	+		-	+		+
	Слабые с	тороны	про	екта			
	Сл1		Сл2			Сл3	
B1	-		-			-	
B2	+		+			+	
В3	-		+			-	
B4	-		-			-	

Таблица 6 – Интерактивная матрица угроз

Угрозы	Сильн	Сильные стороны проекта							
у г розы	C1	C2	C3	C4		C5			
У1	-	-	+	-		-			
У2	+	-	-	+		-			
У3	-	-	-	+		+			
У4	+	-	+	-		+			
	Слабы	е стороны	проекта			1			
	Сл1		Сл2		Сл3				
У1	+		+		-				
У2	-		-		+				
У3	-		+		+				
У4	-		-		+				

Анализ интерактивных матриц, приведенных в таблицах 1 и 2, показывает, что сильных сторон значительно больше, которые обладают наиболее сильными факторами, которые могут повлиять на проект, чем слабых. Кроме того, угрозы имеют низкие вероятности и незначительное воздействие, что говорит о высокой надежности проекта.

Разработка прототипа была нацелена на проверку ключевых технологических и функциональных предположений относительно поставленной задачи. Исследовательский прототип системы вентиляции, создавался для имитации работы частотного электропривода, датчиков, проверки производительности программного или аппаратного обеспечения, настройки регуляторов, симуляции аварийных ситуаций и реакции на них.

5.2. Организация работ технического проекта

Планирование комплекса предполагаемых работ осуществляется в следующем порядке:

- определение структуры работ в рамках технического проектирования;
- определение участников каждой работы;
- установление продолжительности работ;
- построение графика проведения проектирования.

5.3. Структура работ в рамках технического проектирования

Для выполнения проектирования формируется рабочая группа, в состав которой входят научный руководитель и дипломник. Составлен перечень этапов и работ в рамках проведения проектирования и произведено распределение исполнителей по видам работ.

Номерам этапов соответствуют следующие виды выполняемых работ, представленные в таблице 7.

Таблица 7 – Перечень этапов работ и распределение исполнителей

Осморум за отгания	№	Соморуми робот	Должность
Основные этапы	раб	Содержание работ	исполнителя
Разработка	1	Составление и утверждение	Научный
технического задания	1	технического задания	руководитель
Выбор направления	2	Подбор и изучение материалов по теме	Дипломник
исследования	_	подобри изучение материалов по теме	Диняющих
Расчет и выбор	3	Проведение теоретических расчетов и	
оборудования,		обоснований	Дипломник
составление	4	Расчет и выбор оборудования	Дипломпик
функциональной и	5	Составление спецификации	
структурной схемы,			
ознакомление			
руководителя с			Дипломник,
выполненными	6	Проверка проекта	научный
работами, возможные			руководитель
корректировки и			
исправления			
Теоретические и		Построение макетов (моделей) и	
экспериментальные	7	проведение экспериментов	Дипломник
исследования		1 // 1	
		Сопоставление результатов	Дипломник,
Оформление отчета	8	экспериментов с теоретическими	научный
по техническому			руководитель
проектированию		Проверка выпускной	Научный
	9	квалификационной работы	руководитель
		руководителем	
Сдача выпускной			Дипломник,
квалификационной	10	Подготовка к защите ВКР	Научный
работы			руководитель

5.4 Определение трудоемкости выполнения ТП

Трудоемкость выполнения технического проекта оценивается экспертным путем в рабочих днях и носит вероятностный характер, т.к. зависит от множества трудно учитываемых факторов. Для определения ожидаемого (среднего) значения трудоемкости $t_{O\!Ki}$ используется следующая формула:

$$t_{OKi} = \frac{3t_{\min.i} + 2t_{\max.i}}{5},\tag{??}$$

где $t_{O\!K\!i}$ — ожидаемая трудоемкость выполнения i — ой работы чел. — дн.; $t_{\min.i}$ — минимально возможная трудоемкость выполнения заданной i —

ой работы (оптимистическая оценка: в предположении наиболее благоприятного стечения обстоятельств), чел. – дн.;

 $t_{{
m max.}i}$ — максимально возможная трудоемкость выполнения заданной i — ой работы (пессимистическая оценка: в предположении наиболее неблагоприятного стечения обстоятельств), чел. — дн.

Таблица 8 – Продолжительность работ, раб. дни

		Трудоемкость работ								
		Минимально			мально	Orwanoskog				
№	Название	возмож	кная	возмож	кная	Ожидаемая				
312	работы	Науч.	Дипл	Науч.	Дипл	Науч.	Дипл			
		рук-	ом-	рук-	ом-	рук-	OM-			
		ЛЬ	ник	ЛЬ	ник	ЛЬ	ник			

1	Составление и утверждение технического задания	1	-	1	-	1	-
2	Подбор и изучение материалов по теме	-	4	-	4	-	4
3	Проведение теоретических расчетов и обоснований	-	2	-	2	-	2
4	Расчет и выбор оборудования	-	26	-	28	-	27
5	Составление спецификации	-	1	-	1	-	1
6	Проверка проекта	3	4	3	4	3	4
7	Построение макетов (моделей) и проведение экспериментов	-	42	-	47	-	44
8	Сопоставление результатов экспериментов с теоретическими	2	5	2	8	2	6
9	Проверка выпускной квалификационной работы руководителем	2	-	2	-	2	-
10	Сдача и защита выпускной квалификационной работы	1	2	1	7	1	4

5.4. Разработка графика проведения технического проекта

Наиболее удобным и наглядным в данном случае является построение ленточного графика проведения научных работ в форме диаграммы Ганта.

Диаграмма Ганта — горизонтальный ленточный график, на котором работы по теме представляются протяженными во времени отрезками, характеризующимися датами начала и окончания выполнения данных работ.

График строится для ожидаемого по длительности исполнения работ в рамках технического проекта, с разбивкой по месяцам и декадам за период времени подготовки ВКР . На основе таблицы 8 строим план — график проведения работ (таблица 9).

Исходя из составленной диаграммы, можно сделать вывод, что продолжительность работ занимает 13 декад, начиная со второй декады февраля, заканчивая второй декадой июня. Продолжительность выполнения технического проекта составит 103 дня. Из них:

- 92 дня продолжительность выполнения работ дипломника;
- 11 дней продолжительность выполнения работ руководителя.

5.5 Составление сметы затрат на разработку тп

Смета затрат включает в себя следующие статьи:

- материальные затраты;
- расчет полной заработная платы исполнителей;
- расчет отчислений во внебюджетные фонды (страховые отчисления);
- накладные расходы.

_

5.6. Определение стоимости материальных затрат

Расчет производится по действующим прейскурантам, а в ряде случаев по договорной цене. Расчет затрат материальных затрат заносится в таблицу

Таблица 9 – Диаграмма Ганта

	No.		T_{Pi} ,	Γ	Гродо	лжит	ельн	ость в	выпол	тнени	я раб	бот				
№	Вид работ	Исп-ли	раб.	- 7	Ревр.	Map	T		Апр	ель		Mai	й		Июн	Ъ
	-		дни	2	3	1	2	3	1	2	3	1	2	3	1	2
1	Составление и утверждение технического задания	Руководитель	1													
2	Поиск и изучение аналогов	Дипломник	4													
3	Расчет и выбор оборудования	Дипломник	2													
4	Составление функциональной и структурной схемы, разработка дизайна стенда	Дипломник	27													
5	Составление спецификации	Дипломник	1													
6	Ознакомление руководителя с выполненными	Руководитель	3													
0	работами, возможные корректировки и исправления, заказ оборудования	Дипломник	4													
7	Печать элементов, написание кода управления и монтаж системы	Дипломник	44													
8	Пусконаладочные работы, устранение возможных	Руководитель	2													
	неисправностей		6													
9	Проверка выпускной квалификационной работы руководителем	Руководитель	2													
10	Сдача и защита выпускной квалификационной	Руководитель	1				-									
10	работы		4													

Таблица 10 – Затраты на комплектующие

Наименование детали (узла)	Выполняемая функция	Кол-	Ед.	Цена за ед. руб.	Затраты на материа лы руб.
Двигатель	Вращает вентилятор	1	шт.	45500 0	455000
Автоматически й выключатель	Защищает электрическую сеть и электрооборудование от аварийных режимов	3	шт.	3500	10500
Преобразовате ль частоты	Регулирование скорости электродвигателя	1	шт.	72600 00	726000
Итого					1191500

Рассчитаем расходы, связанные с заготовкой и доставкой материальных ценностей:

$$3_M = M \cdot \gamma = 1191500 \cdot 1,05 = 1250$$
 тыс.руб. (??)

где M – материальные затраты;

 γ — коэффициент ТЗР, равный 5%.

5.7 Расчет полной заработной платы исполнителей

Определяется основная и дополнительная заработная плата всех исполнителей, непосредственно участвующих в выполнении данной работы. Величина расходов по заработной плате определяется исходя из трудоемкости выполняемых работ и действующей системы окладов и тарифных ставок.

Расчет полной заработной платы осуществляется следующим образом:

$$3_{3\Pi} = 3_{och} + 3_{don}, \tag{??}$$

где 3_{och} — основная заработная плата;

 $3_{\mathrm{доп}}$ – дополнительная заработная плата.

Основная заработная плата (3_{och}) исполнителя рассчитывается по следующей формуле:

$$3_{och} = 3_{\partial H} \cdot F_{\partial H}, \tag{??}$$

где $3_{\it och}$ — основная заработная плата одного работника;

 $3_{\partial \scriptscriptstyle H}$ — среднедневная заработная плата работника, руб.

Среднедневная заработная плата рассчитывается по формуле:

$$3_{\partial H} = \frac{3_{o\kappa n} + 3_{p.\kappa.}}{F_{\partial}},\tag{??}$$

где $F_{\partial n}$ – количество рабочих дней в месяце (26 при 6 – дневной рабочей неделе, 22 при 5 – дневной рабочей неделе), раб. дн.

 $3_{o\kappa\eta}$ — заработная плата по тарифной ставке, руб.;

 $3_{p,\kappa}$ – районная доплата, руб.

Расчет основной заработной платы приведен в таблице 11.

Дополнительная заработная плата составляет 12 – 15% от основной, расчет дополнительной и полной заработной платы приведен в таблице 12.

Таблица 11 – Расчет основной заработной платы

Исполнители	Оклад, руб.	Районная доплата, руб.	Месячная зарплата, руб.	Среднедневная заработная плата, руб.	во, раб.	Основная заработная плата руб.
Руководитель	49 800	14 940	64 740	2 490	11	27 400
Дипломник	9 600	2 880	12 480	480	92	44 200
Итого						71 600

Таблица 12 – Расчет дополнительной и полной заработной платы

	Vand	Основная Дополнитель		Полной	
Исполнители	Коэф.	заработная	заработная плата	заработная	
	доплаты плата руб		руб	плата, руб.	
Руководитель	0,15	27 400	4 100	31 500	
Дипломник	0,12	44 200	5 300	49 500	
Итого:		71 600	9 400	81 000	

5.8. Отчисления во внебюджетные фонды (страховые отчисления)

Обязательные отчисления по установленным законодательством Российской Федерации нормам органам государственного социального страхования (ФСС), пенсионного фонда (ПФ) и медицинского страхования (ФФОМС) от затрат на оплату труда работников.

Величина отчислений во внебюджетные фонды определяется исходя из следующей формулы:

$$3_{\rm ghe \delta} = k_{\rm ghe \delta} \cdot 3_{3\Pi} \,, \tag{??}$$

где $k_{\it вне \it б}$ — коэффициент отчислений на уплату во внебюджетные фонды.

На 2019 г. в соответствии с Федерального закона от 28.11.2018 №446 – ФЗ установлен размер страховых взносов равный 30%.

Отчисления во внебюджетные фонды составят:

$$3_{\text{внеб}} = k_{\text{внеб}} \cdot 3_{3\Pi} = 30\% \cdot 81\ 000 = 24\ 300\ \text{руб}.$$

5.9 Накладные расходы

Накладные расходы учитывают прочие затраты организации, не включенные в предыдущие статьи расходов: печать и ксерокопирование

материалов исследования, оплата услуг связи, электроэнергии, почтовые и телеграфные расходы, размножение материалов и т.д.

Величина накладных расходов принимается в размере 16% от общей суммы затрат.

5.10 Формирование сметы проекта

Рассчитанная величина затрат технического проекта является основой для формирования бюджета затрат проекта, который при заключении договора с заказчиком защищается организацией в качестве нижнего предела затрат на разработку технической продукции.

Определение бюджета затрат на технический проект приведен в таблице 13.

В ходе выполнения данного параграфа была рассчитана продолжительность выполнения технического проекта, которая составляет 92 раб. дней для инженера и 11 для руководителя. Составлен календарный график выполнения работ.

Таблица 13 – Смета технического проекта

Наименование	Сумма, тыс.	Структура
	руб.	затрат, %
Затраты на комплектующие	1250	78,0
Затраты по полной заработной плате исполнителей	81	5,0
Отчисления во внебюджетные фонды	24,3	2,0
Накладные расходы	244,7	16,0
Бюджет затрат ТП	1600	100,0

5.11. Определение ресурсоэффективности проекта

Определение ресурсоэффективности проекта можно оценить с помощью интегрального критерия ресурсоэффективности по формуле:

$$I_{pi} = \Sigma a_i \cdot b_i,$$

где I_{pi} – интегральный показатель ресурсоэффективности;

 a_i – весовой коэффициент разработки;

 b_i — балльная оценка разработки, устанавливается экспертным путем по выбранной шкале оценивания.

Расчет интегрального показателя ресурсоэффективности приведен в таблице 14.

- 1. Повышение производительности труда пользователя;
- 2. безопасность: обеспечение безопасности работ при эксплуатации и ремонте оборудования;
- 3. помехоустойчивость: максимальное значение электромагнитных помех, воздействующих на электропривод, при котором он может продолжать работу с требуемыми рабочими характеристиками;
- 4. Удобство в эксплуатации (соответствует требованиям потребителей)
- 5. надежность: способность объекта сохранять во времени в установленных пределах значения всех параметров, характеризующих способность выполнять требуемые функции в заданных режимах;
 - 6. Простота эксплуатации.

Критерии ресурсоэффективности и их количественные характеристики приведены в таблице 14.

Интегральный показатель ресурсоэффективности:

$$I_{pi} = 0.1 \cdot 5 + 0.2 \cdot 4 + 0.2 \cdot 4 + 0.1 \cdot 5 + 0.2 \cdot 4 + 0.2 \cdot 5 = 4.4.$$

Таблица 14 – Сравнительная оценка характеристик проекта

Критерии	Весовой	Бальная оценка
Критерии	коэффициент	разработки
1. Гибкость	0,1	5
2. Безопасность	0,2	4
3. Помехоустойчивость	0,2	4
4. Энергосбережение	0,1	5
5. Надежность	0,2	4
6. Материалоемкость	0,2	5
Итого:	1	4,4

Показатель ресурсоэффективности проекта имеет достаточно высокое значение (по 5 — балльной шкале), что говорит об эффективности использования технического проекта. Высокие баллы безопасности, помехоустойчивости, надежности и помехоустойчивости позволяют судить о надежности системы.

В результате выполнения поставленных задач по данному разделу, можно сделать следующие выводы:

- в результате проведения SWOT анализа были выявлены сильные и слабые стороны проекта. Угрозы имеют низкие вероятности и незначительное воздействие, что говорит о высокой надежности проекта;
- при планировании технических работ был разработан график занятости для дипломника, составлена ленточная диаграмма Ганта, позволяющая оптимально скоординировать работу дипломника;
- составление сметы технического проекта позволило оценить первоначальную сумму затрат на реализацию технического проекта;

• оценка ресурсоэффективности проекта, проведенная по интегральному показателю, дала высокий результат (4,4 по 5 – балльной шкале), что говорит об эффективности реализации технического проекта.

Реализация данного технического проекта, позволяет исследовать систему вентиляции, работу частотного электропривода, производить проверку производительности программного или аппаратного обеспечения, настройку регуляторов, симуляцию аварийных ситуаций и реакции на них.

6. СОЦИАЛЬНАЯ ОТВЕТСВТЕННОСТЬ

Введение

Объектом проектирования является электропривод шахтного осевого вентилятора, который предназначен для регулирования скорости вращения вентилятора.

Под вредными условиями труда следует понимать присутствие на производстве таких факторов, которые наносят ущерб здоровью работников. То есть на рабочих местах не соблюдены определенные гигиенические требования, что может оказывать отрицательное воздействие на дееспособность служащих, а также на здоровье их возможных детей. Работникам предприятия приходится часто выполнять различные операции, сопряженные с прямым риском здоровью (вредные условия труда).

6.1. Правовые и организационные вопросы обеспечения безопасности.

Какие сферы деятельности и специальности связаны с вредными условиями труда, указывается в постановлении РФ, должности с вредными условиями труда в нефтяной промышленности и строительстве, на меры социальной поддержки, Федеральный закон РФ от 28.12.2013 г. No426-ФЗ «Об специальной оценке условий труда»

Оплата труда работников, занятых на работах с вредными и (или) опасными условиями труда, устанавливается в повышенном размере, Трудовой кодекс РФ, часть первая в ред. Федерального закона от 28.12.2013 N 421-Ф3 [11].

Минимальный размер повышения оплаты труда работникам, занятым на работах с вредными и (или) опасными условиями труда, составляет 4 процента тарифной ставки (оклада), установленной для различных видов работ с нормальными условиями труда, часть вторая в ред. Федерального закона от 28.12.2013 N 421-Ф3.

Конкретные размеры повышения оплаты труда устанавливаются работодателем с учетом мнения представительного органа работников в порядке, установленном статьей 372 настоящего Кодекса для принятия локальных нормативных актов, либо коллективным договором, трудовым договором, в ред. Федерального закона от 30.06.2006 N 90-Ф3.

Люди, работающие на вредных производствах, обеспечиваются дополнительным оплачиваемым отпуском, трудовой кодекс Российской Федерации от 30.12.2001 N 197-ФЗ (ред. от 01.04.2019).

Компенсация за вредные условия труда и ее размер устанавливаются на основании статей Трудового кодекса, коллективного договора или иных внутренних документов предприятия. Грамотная социальная политика - ключ к успеху предприятия, ведь эффективность работы напрямую зависит от эмоционального комфорта и позитивного настроя коллектива. Эффективная социальная политика и ответственные, партнерские отношения со своими работниками, являются важнейшими факторами долгосрочного устойчивого развития компании. Максимальная безопасность производства и забота о благосостоянии сотрудников были и остаются основными составляющими социальных программ. Ежегодно на социальные программы предприятие выделяет средства. Сюда входит:

- организация санаторно-курортного лечения, оздоровление работников и их детей;
 - оказание медицинских услуг;
 - развитие корпоративного спорта и культурно-массовой деятельности;
- материальное поощрение работников к юбилеям и знаменательным датам;
- материальная помощь работникам, нуждающимся в дополнительной социальной поддержке;
- единовременные компенсационные выплаты увольняющимся работникам в связи с выходом на пенсию;

6.2. Производственная безопасность

Табл.15. Возможные опасные и вредные факторы

	Этапы	работ		
Факторы				Нормативные
(ГОСТ 12.0.003-2015)				документы
(пример заполнения)	Разработка	Изготовление	Эксплуатация	
1. Превышение уровня	-	+	+	Параметры микроклимата
шума				устанавливаются СанПиН 2.2.4.548-
2. Превышение вибрации 3. Отсутствие или	- +	+	+	96 Параметры шума в помещении устанавливается СН 2.2.4/2.1.8.562—
недостаток искуственного света		'		96 Нормируется искусственное освещение в соответствии со СНиП
4.Микроклимат	-	+	+	23-05-95.
5.Повышенное значение напряжения в электрической цепи, замыкание которой может произойти через тело человека	+	+	+	Параметры вибрации устанавливаются СН2.2.4/2.1.8.566. Защита от поражения электрическим током ГОСТ Р 50571.3-94.

6.3 Анализ опасных и вредных производственных факторов

Часть технологического процесса исследования и проверки электропривода нагнетательной установки основана на работе с двигателем, который в свою очередь являются источником повышенного уровня шума, что является вредным фактором производственной среды [12].

Опасность может представлять повышенный уровень вибрации, который возникает во время работы исследуемого двигателя при нагрузках выше номинальной.

Следующий вредный фактор — недостаток естественного света, при работе в условиях недостаточной освещённости, связанным с временем суток и погодными условиями.

6.3.1 Шум

Шум – один из наиболее распространенных неблагоприятных факторов производственной среды. Говоря о действии шума на организм, следует иметь в виду, что он оказывает как местное, так и общее воздействие. При этом учащается пульс, дыхание, повышается артериальное давление, изменяются двигательная и секреторная функции желудка и других органов. Неблагоприятно отражается шум на нервной системе, вызывая головные боли, бессонницу, ослабление внимания, замедление психических реакций, что в конечном счете приводит к понижению работоспособности [16].

При нормировании шума используют два метода:

- нормирование по предельному спектру шума;
- нормирование уровня звука в дБА.

Первый метод нормирования является основным для постоянных шумов. Здесь нормируются уровни в децибелах среднеквадратичных звуковых давлений в восьми октавных полосах частот со среднегеометрическими частотами 63, 125, 250, 500, 1000, 2000, 4000, 8000 Гц. Таким образом, шум на рабочих местах при продолжительности действия более 4 ч не должен превышать нормативных уровней, значения которых приведены в табл. 16.

Таблица 16 – Нормативные уровни звукового давления и уровни звука на постоянных рабочих местах

	Среднегеометрические частоты октавных полос, Гц								TEA
Вид помещения	63	125	250	500	1000	2000	4000	8000	Ka.
	Уровни звукового давления, дБ							Уровии звука, дБ/	
1. При шуме, провикающем извне помещений, находящихся на территории предприятий; а) конструкторские бюро, комнаты расчетчиков и программистов счетно-электронных машин, помещения лабораторий для теорегических работ и обработки экспери-		,							
ментальных данных, помещения приема больных здравпупктов	71	61	54	49	45	42	40	38	50
б) помещения управлений (рабочие комнаты)	79	70	63	58	55	52	50	49	60
в) кабыны наблюдения и дистан-	94	S7	82	78	75	73	71	70	80
г) то же, с речевой связью по телефону 2. При шуме, возникающем внутри помещений и проникающем в помещения, находящиеся на территории предприятий:		74	68	63	60	57	55	54	65
а) помещения и участки точной сборки, машпиописные бюро б) помещения лабораторий, помещения для размещения шумовых агрегатов счетно-вычислительных	83	74	68	63	60	57	55	54	65
машин (табуляторов, перфораторов, магинтымх барабанов и т. п.) 3. Постоянные рабочие места	94	87	82	78	75	73	71	70	80
в производственных помещениях и на территории предприятий ¹	99	92	86	83	80	78	76	74	85

Средства индивидуальной защиты(СИЗ) применяются в том случае, если другими способами обеспечить допустимый уровень шума на рабочем месте не удается. Принцип действия СИЗ — защитить наиболее чувствительный канал воздействия шума на организм человека — ухо. Применение СИЗ позволяет предупредить расстройство не только органов слуха, но и нервной системы от действия чрезмерного раздражителя. Наиболее эффективны СИЗ, как правило, в области высоких частот. СИЗ включают в себя противошумные вкладыши (беруши), наушники, шлемы и каски, специальные костюмы.

6.3.2 Вибрация

Одним из наиболее опасных для человеческого организма производственных факторов является вибрация. Под вибрацией понимается колебание твёрдых тел.

Вид вибрации: постоянная вибрация, которая за время наблюдения изменяется не более чем в два раза

Большое негативное воздействие этот фактор оказывает на отделы центральной нервной системы, желудочно-кишечного тракта и вестибулярного аппарата человека. Длительное воздействие вибрации на организм приводит к развитию профессиональных заболеваний, основным из которых является — виброболезнь, сопровождающаяся головокружением, онемением нижних конечностей и потерей ориентации в пространстве.

Большую опасность для организма представляют вибрации частотой 6-9 Гц, так как эти частоты наиболее близки к собственным частотам внутренних органов человека. Совпадение частоты вибрации и внутреннего органа приведёт к резонансному явлению, в результате чего начнётся процесс разрушения.

Сангигиенические нормы вибрации представлены в таблице 17. Таблица 17 – Нормы вибрации

Вид виб-	Среднеквадратичная частота, Гц										
рации	Логарифмический уровень виброскорости										
	1	2	4	8	16	31,5	63	125	250	500	
Цех	-	103	100	101	106	112	118	-	-	-	

Для виброзащиты применяются средства индивидуальной защиты для рук, ног и тела оператора. В качестве средства защиты для рук применяются рукавицы и перчатки, вкладыши и прокладки по ГОСТ 12.4.002 "Система стандартов безопасности труда. Средства защиты рук от вибрации. Технические требования и методы испытаний".

Виброзащитная обувь изготавливается в виде сапог, полусапог, в конструкции низа которых используется упругодемпфирующий материал (ГОСТ 12.4.024 "Система стандартов безопасности труда. Обувь специальная виброзащитная. Общие технические требования").

6.3.3 Свет

Специалисты полагают, что причина отрицательного воздействия может заключаться в изменении циркадных ритмов из-за недостатка естественного света. Поэтому следует уделять большее внимание достаточному дневному освещению для укрепления здоровья и морального состояния работников.

В зависимости от напряжения зрительного аппарата при выполнении работы освещенность на предприятиях делят на восемь разрядов: от наивысшей точности до общего наблюдения за ходом производственного процесса.

В таблице 18 приведены нормируемые значения КЕО.

Таблица 18 – Нормы КЕО

Характеристика	Наименьши	Разряд	Значение КЕС) при
выполняемой	й размер	длительно	естественном освет	щении, %
зрительной	объект	й работы		
работы	различения,			
	MM			
Общие	_	VII	Верхнем и	боково
наблюдения за			комбинированно	M
ходом			M	
производственног			_	_
о процесса				

К числу источников света массового применения относятся лампы накаливания, лампы ДРЛ, люминесцентные лампы.Лампы накаливания применяются там, где проводятся грубые работы, или осуществляется общий надзор за эксплуатацией оборудования. Кроме того, предпочтение лампам накаливания отдается во взрывоопасных и пожароопасных помещениях, в сырых помещениях, в помещениях с химически активной средой. Характеристика выполняемой зрительной работы для проекта относится к классу средней точности, где наименьший объект различия от (0,5 до 1,0 мм) в связи с этим значение КЕО при естественном освещении 1,5 %.

6.3.4 Микроклимат

Рабочая зона характеризуется:

- наличием большого количества металлического оборудования;
- повышенной температурой.

Оптимальные и допустимые нормы микроклимата в рабочей зоне производственных помещений представлены в таблице 19.

Таблица 19 — Оптимальные и допустимые нормы микроклимата в рабочей зоне

Сезон года	Категория	Температура,		Относительная		Скорость	
	работа	градус С		влажность		движения	
						возду	/ха, м/с
		По	ГОСТ	По	ГОСТ	По	ГОСТ
		12.1.005-88		12.1.005-88		12.1.005-88	
Холодный	Средней	17–19		40–60		0,3	
	тяжести(IIa)						

Продолжение таблицы 19:

Теплый со	Средней	20–22	40–60	0,2–0,5
значительным	тяжести(IIб)			
избытком				
тепла				

В соответствии с СанПиНом 2.2.4.548 – 96(1) значения температуры, относительной влажности и скорости движения воздуха устанавливаются, для рабочей зоны производственных помещений, в зависимости от категории тяжести выполняемой работы, величины явного избытка тепла, выделяемого в помещении и периода года.

6.3.5 Электропоражение

При разработке коллективных и индивидуальных средств защиты от электропоражения необходимо, согласно правилам устройства электроустановок (ПУЭ), рассмотреть следующие вопросы [17]:

- обоснование категории помещения по степени опасности поражения электрическим током;
- требования к электрооборудованию;
- анализ соответствия реального положения на производстве перечисленным требованиям;
- мероприятия по устранению обнаруженных несоответствий;
- обоснование мероприятий и средств защиты, работающих от поражения электрическим током.

Используются индивидуальные электрозащитные средства. В установках до 1000В используются диэлектрические перчатки, указатели напряжения, диэлектрические коврики и боты, изолирующие подставки, а также инструмент с изолированными рукоятками.

6.4 Обоснование мероприятий по снижению уровней воздействия опасных и вредных факторов на исследователя (работающего)

6.4.1. Шум

Для защиты от шума по СанПиН 2.2.4/2.1.8.562 - 96 и вибрации по СанПиН 2.2.4/2.1.8.566 - 96 предусматриваются:

- •обеспечение персонала индивидуальными средствами защиты;
- •установка звукоизолирующих кабин;
- •звукоизолирующие кожухи и экраны;
- •виброизолирующие материалы под оборудование (пружины, резины и другие прокладочные материалы).

6.4.2. Свет

На рабочих местах, где трудовая деятельность ведется в условиях отсутствия естественного освещения, необходимо проводить мероприятия, направленные на уменьшение уровня вредности условий труда. В их число входят следующие:

- улучшение условий путем использования искусственного освещения;
- защита временем, то есть сокращение продолжительности пребывания работников в помещении без естественного освещения;
- профилактическое ультрафиолетовое облучение работников. В этом случае источники ультрафиолетового излучения устанавливают рядом с обычными осветительными лампами, за счет чего достигается обогащение обычного искусственного освещения ультрафиолетовым излучением.

При недостатке естественного освещения в помещениях также возможно принятие следующих мер:

- анализ степени загрязненности стекол в светопроемах, их очистка и дальнейшие контрольные измерения коэффициента естественной освещенности, который показывает, какая часть наружного освещения попадает на рабочие места производственного помещения;

- при наличии в помещении зон с недостаточным и достаточным уровнем естественного освещения изменение размещения рабочих мест с их переносом в зону с достаточным уровнем естественного освещения;
- косметический ремонт помещения с применением светлых отделочных материалов.

6.4.3. Микроклимат

Для обеспечения нормального микроклимата предусматривается, в соответствии с СанПиНом 2.2.4.548 – 96(1), следующее:

- вентиляция приточно-вытяжная по СНиП 2.04.05 91* (28.11.91)
- установка центробежных вентиляторов.;установка систем воздушного отопления, совмещённых с вентиляцией;

Предусмотренные мероприятия обеспечивают параметры микроклимата в соответствии с нормами, представленными в таблице 21.

6.4.4. Вибрация

При использовании виброопасных ручных инструментов работы следует проводить с применением режимов труда, которые должны обеспечивать [15]:

- общее ограничение времени воздействия вибрации в течение рабочей смены;
- ограничение длительности непрерывного одноразового воздействия вибрации;
- использование регламентированных перерывов для активного отдыха и лечебно-профилактических процедур.

Для снижения вибрации в источнике ее возникновения необходимо производить выбор технологии и оборудования, исключающих ударные и резкие динамические процессы. Большое значение имеет точность изготовления вращающихся деталей, их статическая и динамическая балансировка и отстройка режимов вращения от собственной частоты

колебаний путем изменения скорости вращения, массы колеблющейся системы или ее жесткости.

Виброизоляция машин или рабочих площадок осуществляется путем введения упругих связей (виброизоляторов) между машиной и основанием или основанием и рабочей площадкой. Виброизоляторы выполняются в виде стальных пружин, рессор, прокладок из резины, резинометаллических конструкций и др.

- Вибродемпфирование уменьшение уровня вибрации защищаемого объекта путем превращения энергии механических колебаний системы в другие виды энергии. Увеличение потерь энергии достигается использованием в качестве конструктивных материалов с большим внутренним трением (полимерных материалов); нанесением специальных покрытий из пластмассы, линолеума «Агат», мастики «Антивибрит», резины специальных марок и др. на вибропроводящие поверхности.
- Виброгашение уменьшение уровня вибрации путем введения в колебательную систему дополнительных масс или увеличения жесткости системы. Реализуется путем установки оборудования на самостоятельные фундаменты. Применяется для тяжелого оборудования.

6.4.5. Электропоражение

Для защиты от прямого прикосновения к токоведущим частям, согласно [14] п.412. служат изоляция токоведущих частей, применение ограждений и оболочек, установка барьеров, размещение вне зоны досягаемости, устройства защитного отключения (УЗО).

Для защиты от косвенного прикосновения применяются: защитное заземление и защитное зануление [14] п.413. Даже если при электропоражении работающий внешне сохранил формат нормального самочувствия, он должен быть осмотрен врачом с заключением о состоянии здоровья. Предварительно пострадавший должен быть освобожден от действия электрического тока.

Если при этом отключить напряжение быстро невозможно, освобождение от электричества пострадавшего необходимо производить, изолировав себя диэлектрическими перчатками или галошами. При необходимости перерезать провода (каждый в отдельности) инструментом с изолированными ручками. Если есть необходимость (при потере сознания, остановке сердца и т.п.) оказания первой помощи, то до прибытия медработника необходимо начать наружный искусственное делать: массаж сердца, дыхание. Для предотвращения от поражения электрическим током при прикосновении к корпусам электроустановок, находящихся под напряжением при пробое изоляции или в других случаях, необходимо рассчитать и установить защитное заземление

6.5. Экологическая безопасность

Работа в цеху сопряжена с образованием и выделением газообраз-ных, жидких и твердых отходов. Газообразные отходы, загрязняющие воздух помещения: естественные выделения - углекислый газ, пары воды, летучие органические соединения - ЛОС (альдегиды, кетоны), азотистые соединения; бытовая пыль; ЛОС, выделяющиеся в процессе эксплуатации отделочных материалов, лакокрасочных покрытий мебели и др. Перед выбросом воздух помещений подвергается обязательной очистке в фильтровентиляционных системах, что предотвращает атмосферу от загрязнения. Жидкие отходы - бытовые отходы, образующиеся в процессах влажной уборки помещений, при пользовании водопроводом, туалетом и т.п., сбрасываются в городскую канализацию и далее поступают в системы централизованной очистки на городских очистных сооружениях [15].

К сфере защиты ОС и рационального использования природных ресурсов относится и экономия ресурсов, в частности, энергетических. Реальным вкладом здесь может стать экономия электрической и тепловой энергии на территории предприятия. Во-первых, это улучшает экономические

(уменьшение показатели деятельности предприятия расходов на электротепловую энергию). Во-вторых, ЭКОНОМИЯ энергии уменьшение газа, мазута, угля, сжигаемого в топках котлов ТЭС и электроустановок (котельных) промпредприятий города Томска и области и одновременное уменьшение выбросов загрязняющих веществ в атмосферный воздух. Несмотря на кажущуюся малостьтакого вклада в энергосбережение и в защиту атмосферного воздуха от загрязнения массовое движение в этом направлении, в том числе, в быту, принесет значимый эффект.

6.6. Безопасность в чрезвычайных ситуациях

Наиболее вероятные чрезвычайные ситуации на рассматриваемом рабочем месте в механическом цехе это возникновение пожара, взрыв метанаи угольной пыли, электропоражение.

6.6.1 Пожар (загорание) – как источник ЧС

Основными причинами пожара могут быть: перегрузка проводов, короткое замыкание, большие переходные сопротивления в электрических цепях, электрическая дуга, искрение и неисправности оборудования. Согласно [28], пожарная профилактика обеспечивается: системой предотвращения пожара; системой противопожарной защиты; организационно-техническими мероприятиями. К мерам предотвращения пожара относятся: применение средств защитного отключения возможных источников загорания (защитного зануления); применение искробезопасного оборудования; применение устройства молниезащиты здания; выполнение правил (инструкций) по пожарной безопасности. К мерам противопожарной защиты относятся: применение пожарных извещателей; средств коллективной и индивидуальной автоматической защиты факторов пожара; системы пожарной сигнализации; порошковых или углекислотных огнетушителей, два ящика с песком 0,5 м3. Организационно-технические мероприятия: наглядная агитация и инструктаж работающих по пожарной безопасности; разработка схемы действии администрации и работающих в случае пожара и организация эвакуации людей; организация внештатной пожарной дружины.

При обнаружении загорания рабочий немедленно сообщает по телефону 01 в пожарную охрану, сообщает руководителю, приступают к эвакуации людей и материальных ценностей. Тушение пожара организуется первичными средствами с момента обнаружения пожара. Пострадавшим при пожаре обеспечивается скорая медицинская помощь

Заключение

В ходе выполнения проекта была исследована главная вентиляторная установка месторождения Каульды. Выполнен расчет и выбор электропривода и автоматизации.

В ходе проектирования был выбрал асинхронный электродвигатель 6A355м2 и преобразователь частоты компании Siemens MIDIMASTER Eco6SE95.

Для работы электропривода была выбрана система со скалярным управлением и законом $\frac{U}{f^2}$ =const с IR компенсацией, как наиболее подходящая для вентиляторной установки и имеющая достаточный диапазон регулирования. IR компенсация позволяет работать электроприводу на низких частотах.

По результатам моделирование системы ПЧ-АД законом управления $\frac{U}{f^2}$ =const можно выделить следующие полученные значения: перерегулирование $-\sigma$ = 3,4%, что входит в допустимый предел 5%, время регулирование 4,2 секунды, что тоже допустимо для данной системы мощности.

В разделе финансовый менеджмент, ресурсоэффективность и ресурсосбережение экономической выпускной квалификационной работы проведен анализ потенциальных рисков и разработаны меры по управлению ими. Определена себестоимость, цена и рентабельность продукции. Проведена оценка уровня качества, прогнозируемый уровень сбыта и объём критического производства.

Данная выпускная квалификационная работа содержит информацию об условиях, которые должны быть обеспечены на узлах связи для безопасного труда рабочих и обеспечения должного состояния их здоровья.

Список литературы

- 1. Малиновский А.К. Автоматизированный электропривод машин, шахт и рудников. Москва: Недра, 1956. 157с.
- 2. Рудничная вентиляция: Справочник/ Под ред. К. 3. Ушакова. —2-е изд., перераб. и. доп. Москва: Недра, 1988, 440с.
- 3. Насосы, вентиляторы и компрессоры. Шерстюк А. Н. Учебное пособие для вузов. Москва, «Высшая школа», 1972. –344 с.
- 4. Степанов А.И. Центробежные и осевые компрессоры, воздуходувки и вентиляторы. Теория, конструкция и применение. –Москва: Машгиз. –347 с.
- 5. Вентиляция шахт и рудников: учеб. пособие / В.И. Голинько, Я.Я. Лебедев, О.А. Муха. Днепропетровск: Национальный горный университет, 2012. 266 с.
- 6. Чернышев А. Ю., Чернышев И. А. Расчет характеристик электроприводов переменного тока. Ч. 1. Асинхронный электродвигатель: Учебное пособие. Томск: Изд-во ТПУ, 2005. 136с.
- 7. Г. Г. Соколовский «Электроприводы переменного тока с частотным регулированием» Учебник, М.: Издательство ACADEMA, 2006 259с.
- 8. Преобразователя частоты Siemens предлагаемая продукция. [Электронный курс] https://www.cta.ru/cms/f/366682.pdf
- 9. В.В. Тимошкин, И.А. Чернышев, А.Ю. Чернышев, Н.А. Воронина. Проектирование и исследование асинхронных электроприводов: Учебное пособие. Томск: Изд-во ТПУ, 2018. 150с.
- 10. Видяев И.Г., Серикова Г.Н., Гаврикова Н.А. Финансовый менеджмент, ресурсоэффективность и ресурсосбережение: учебнометодическое пособие. Томск: Изд-во ТПУ, 2014. 36с.
- 11. Федеральный закон о специальной оценки условий труда. [Электронный курс] https://consultant.ru/diocument/cons_doc_LAW_156555
- 12. С.В. Белова. Охрана окружающей среды. Москва: Высшая школа, 1991. –319с.

- 13. Дементьев Ю.Н., Чернышев А.Ю., Чернышев И.А. Электрический привод: Учебное пособие. Томск: Изд-во ТПУ, 2018. 223с.
- 14. Правила устройства электроустановок. 6-е изд. Энергоатомиздат. 2000. 640 с
- 15. Долин П. А. Справочник по технике безопасности. М.: Энергоатомиздат, 1984. 824 с.
 - 16. СНиП П-12-77. «Защита от шума»
- 17. Правила устройства электроустановок, ПУЭ, утвержденные Министерством энергетики России от 08.07.2002, No204, Глава 1.7.